

# PROJETO DNIT

TED 680/2020

---

**Parâmetros de desempenho de materiais asfálticos**

**Leni Leite**

04 de junho de 2025



# Objetivos

---

## Indicadores de desempenho de ligantes aplicados a frio e a quente

- Aplicados a quente é a meta do TED 680/2020
- Aplicados a frio

-

---

## Avaliação dos ligantes aplicados a quente

## Visão da COPPE – escolha de parâmetros reológicos

---

- Distinção dos ligantes modificados e não modificados;
- Permitir escolha adequada de materiais - MeDiNa;
- Correlações dos resultados de ensaios de ligantes e de misturas asfálticas para escolha dos parâmetros de especificação de ligantes;
- Verificação do enquadramento dos resultados de análises dos ligante quanto às especificações americanas e quanto a proposta de especificação da Petrobras;
- Análise dos ligantes quanto a parâmetros reológicos relacionados a trincamento por fadiga e deformação permanente;

# Materiais estudados

Código	Tipo
A1	50/70
A2	50/70
A3	50/70
A4	30/45
A5	50/70
A6	30/45
A7	50/70
A8	50/70
A9	50/70
A10	30/45
A11	50/70
A12	50/70

Código	Tipo
B1	AB-8
B2	AB-8
B3	AB-8
B4	AB-22
B5	AB-8
B6	AB-22
B7	AB-8
B8	AB-8
B9	AB-8

Código	Tipo
C1	76-28
C2	55/75
C3	60/85
C4	55/75
C5	HiMA
C6	65/90
C7	60/85
C8	55/75
C9	60/85
C10	55/75
C11	60/85
C12	60/85
C13	65/90
C14	60/85
C15	60/85
C16	60/85

Tipo	Quantidade
30/45	3
50/70	9

Tipo	Quantidade
AB-8	7
AB-22	2

Tipo	Quantidade
Russo	1
55/75	4
60/85	8
65/90	2
HiMa	1

3 tipos de agregados

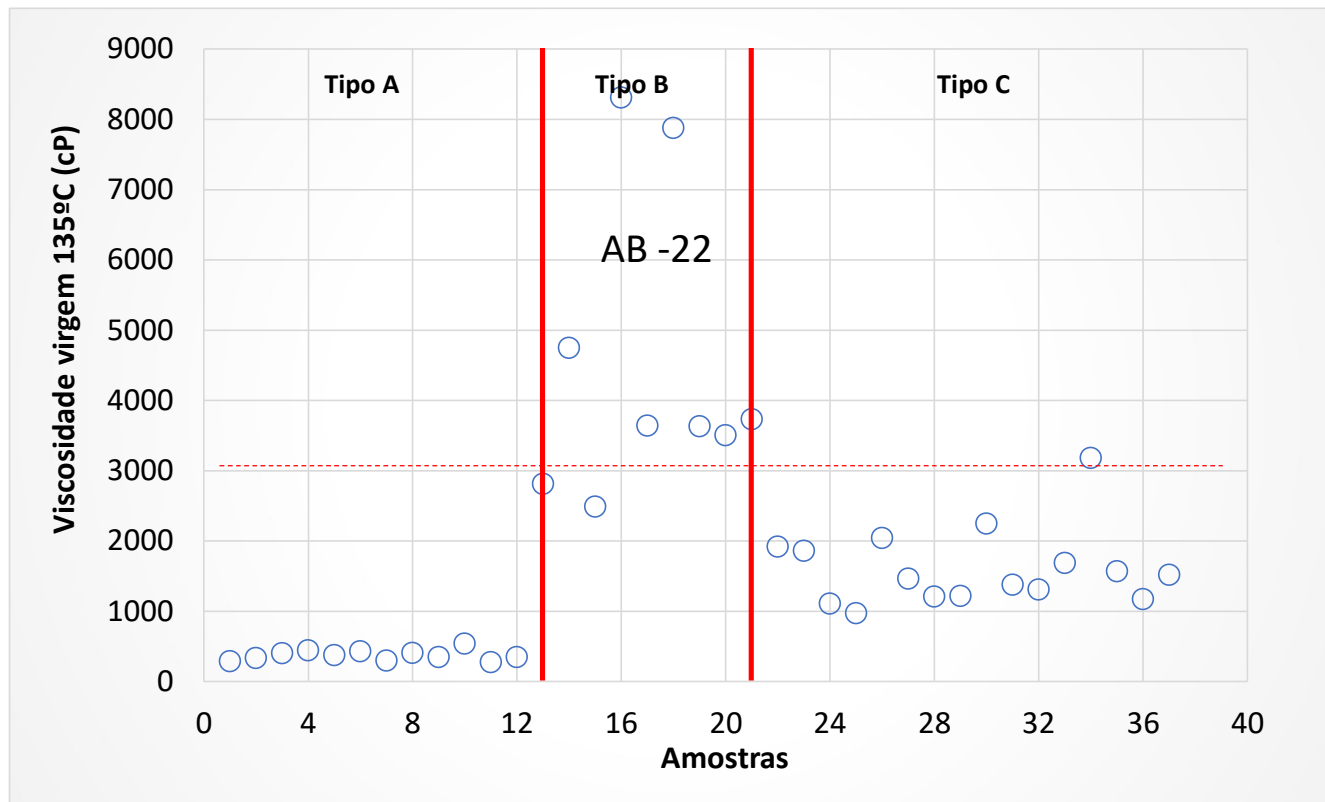
30 misturas asfálticas

## Avaliação dos ligantes aplicados a quente

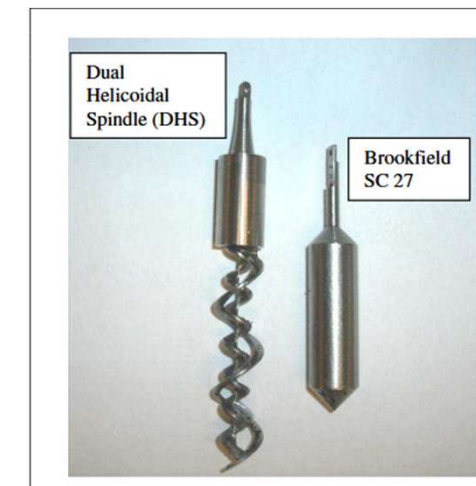
---

**Avaliação dos ligantes asfálticos quanto ao enquadramento das especificações SUPERPAVE**

## Viscosidade Brookfield a 135°C, SP21, 20 RPM



Viscosidade rotacional a 135°C, SP21, 20 RPM	cP	$\leq 3000$
--	----	-------------



AB necessita de ensaio apropriado

Lo Presti

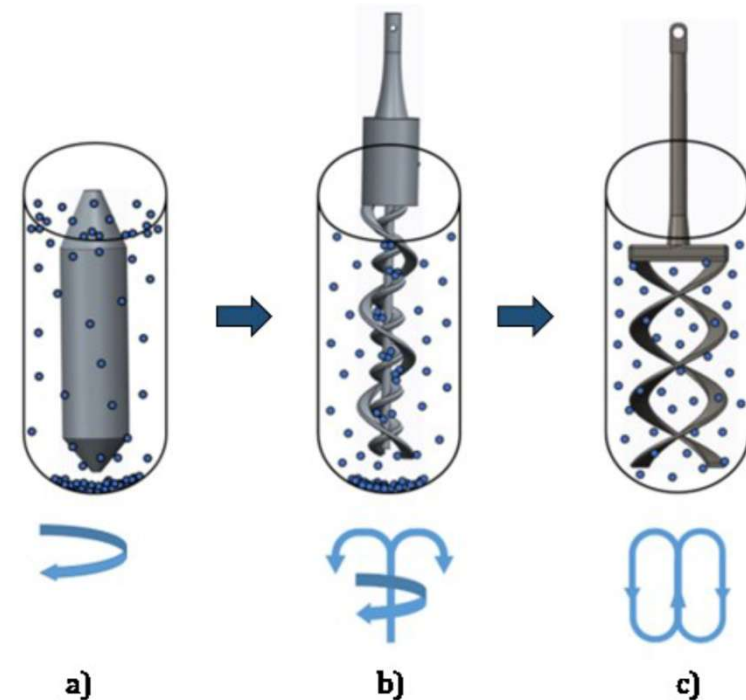
# Are we correctly measuring the rotational viscosity of rubberized bituminous binder?

## Conference Paper · October 2020

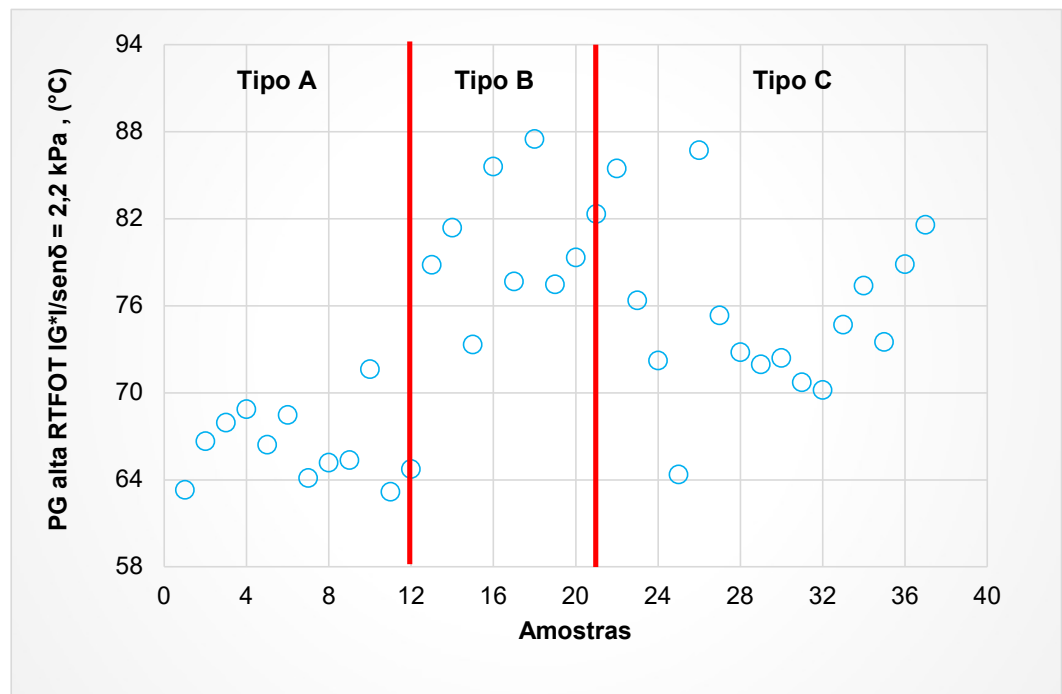
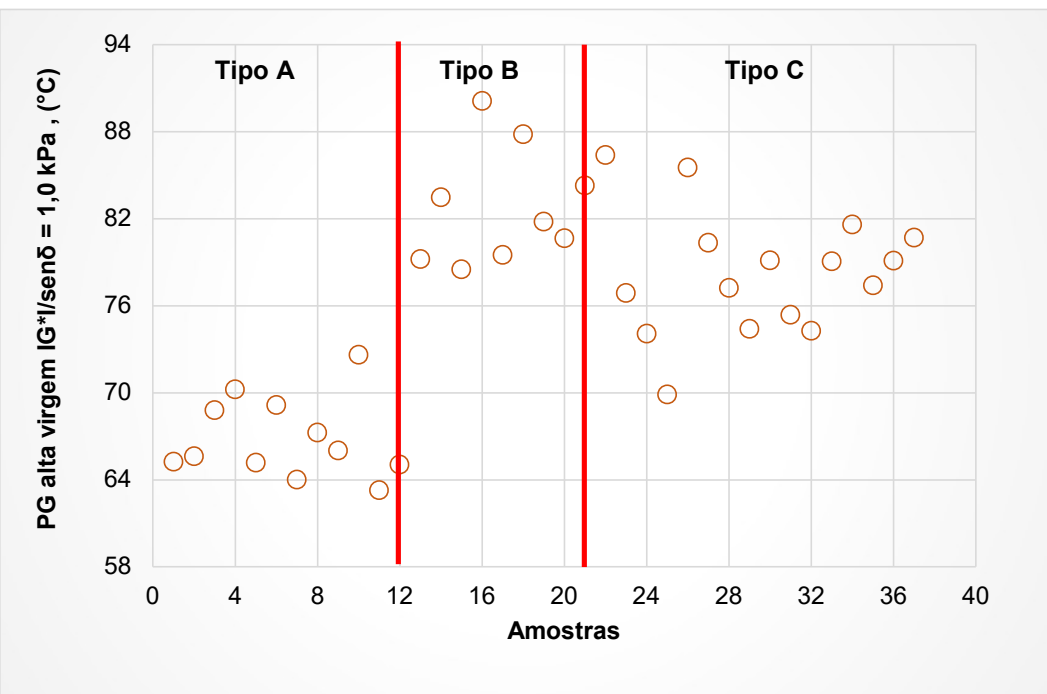


Distribuição das partículas de GTR dentro da câmara usando diferentes geometrias

- a) standard spindle Sc-27,
- b) dual helical impeller (DHI),
- c) dual helical ribbon (DHR).

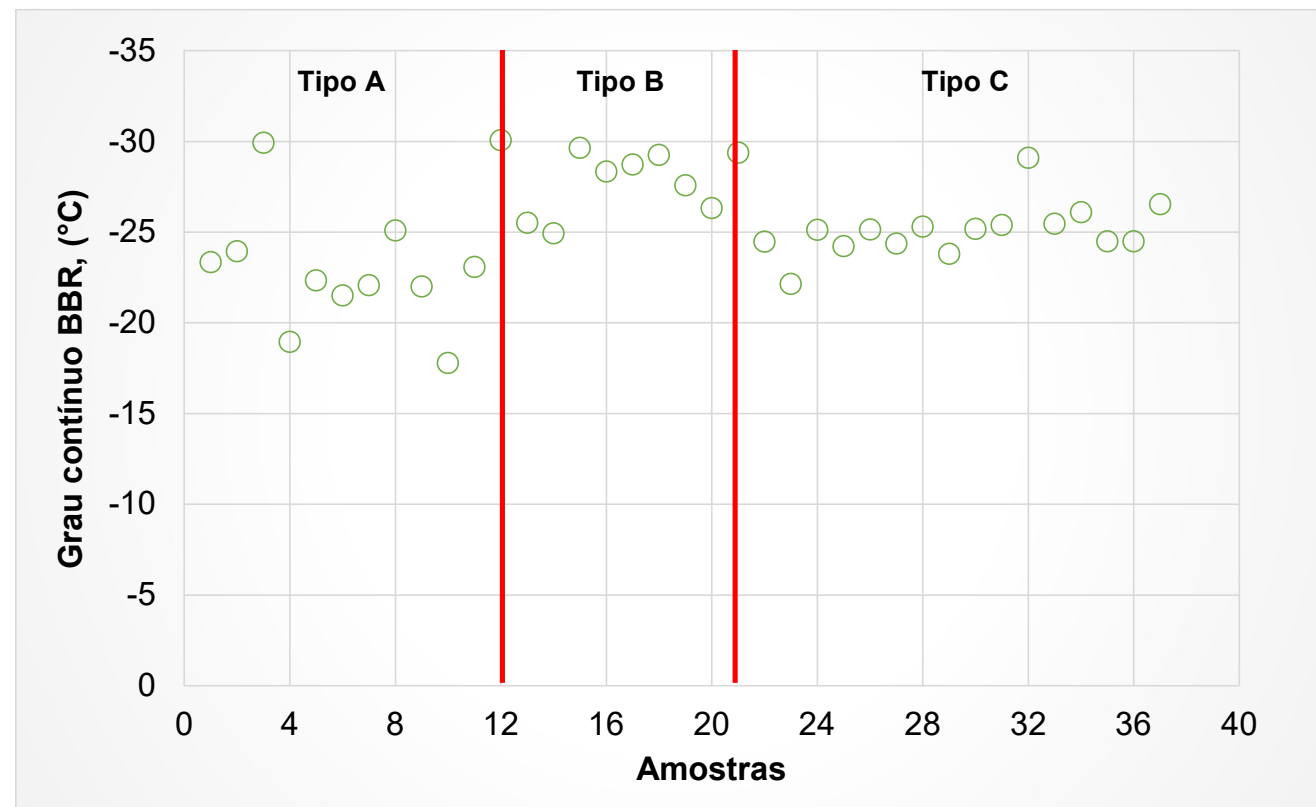


# PG contínuo alta – virgem & RTFOT



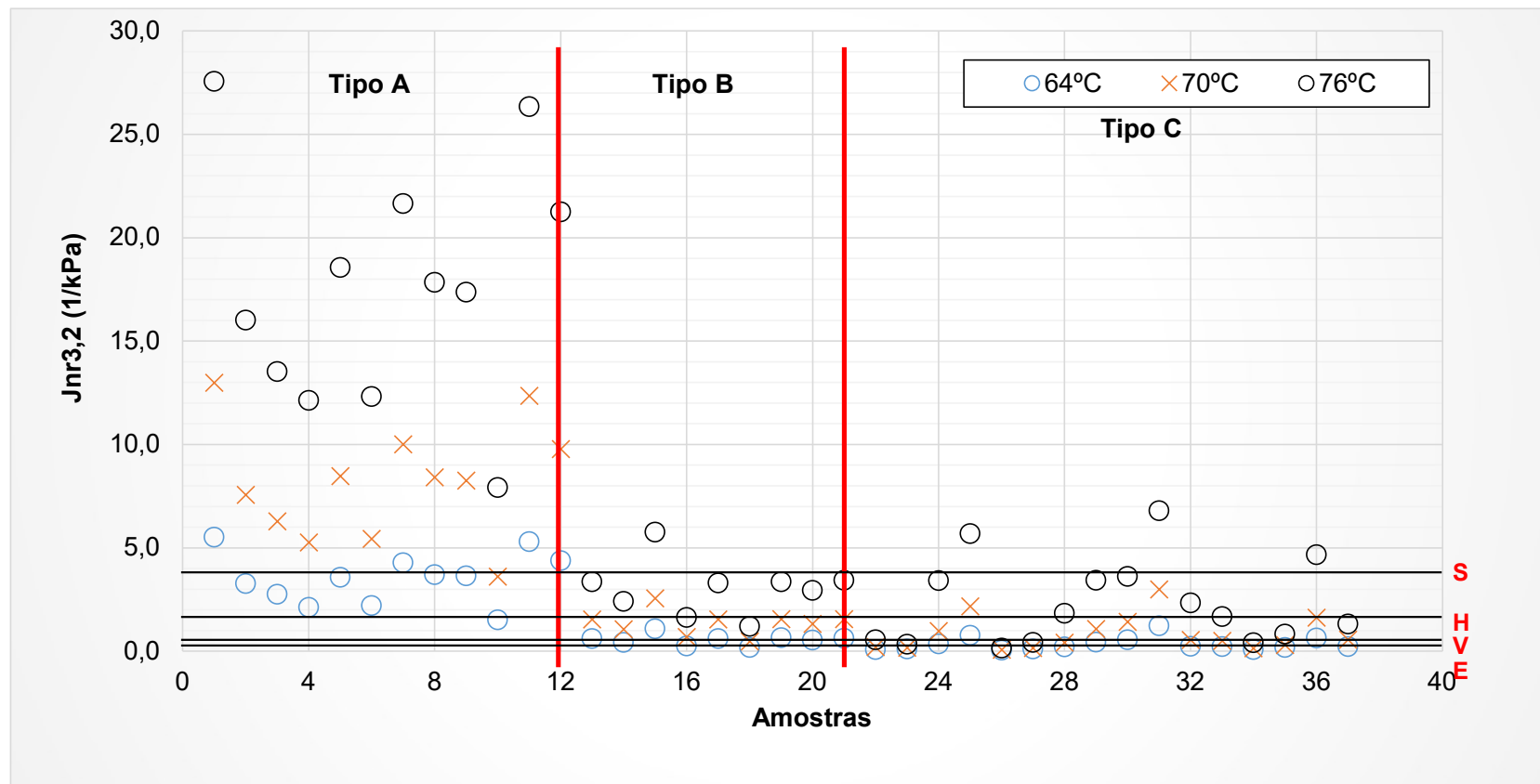
PG 58 a 88

# PG baixa

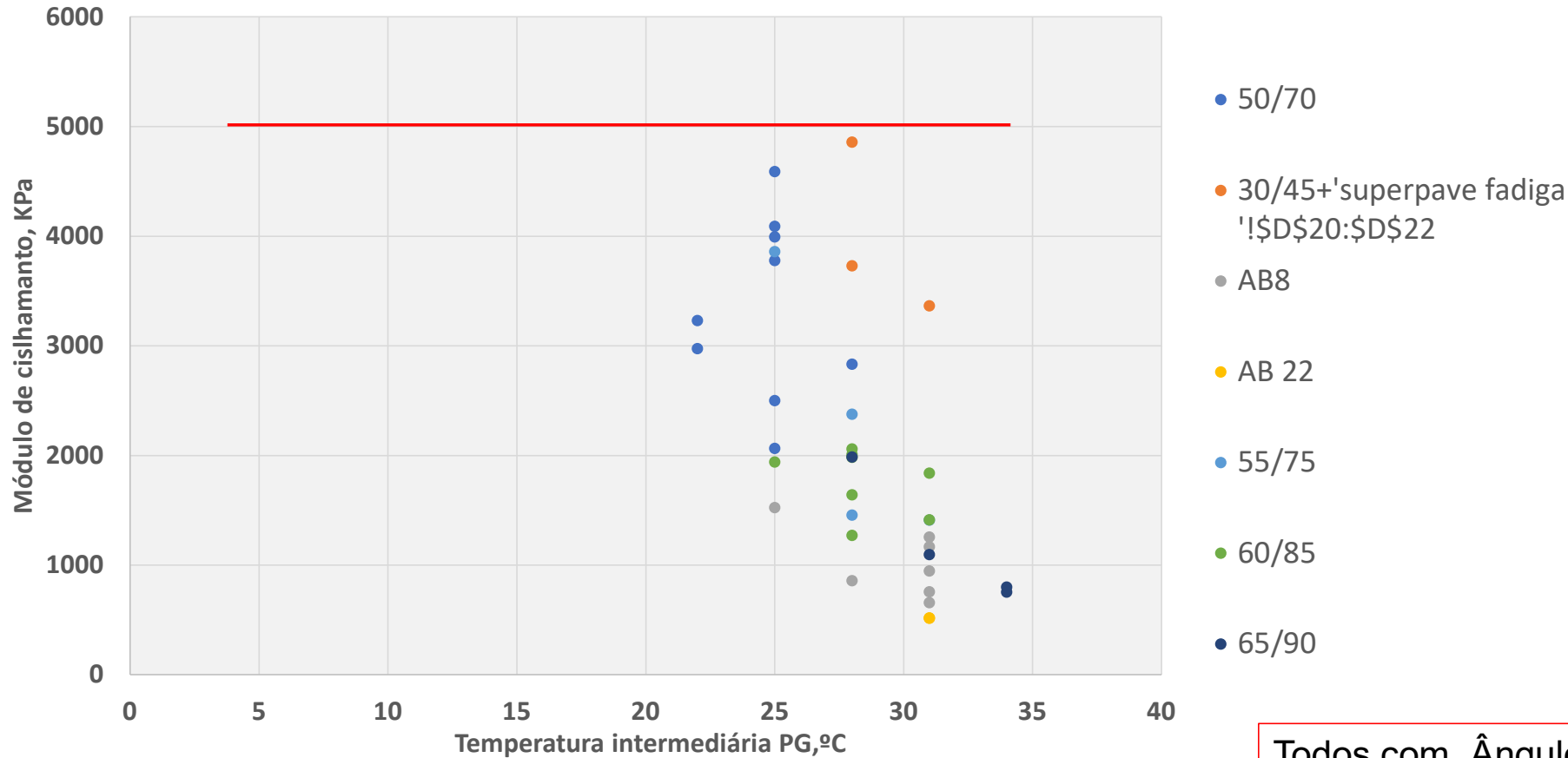


PG -28 a -16

# MSCR – resistência a deformação permanente



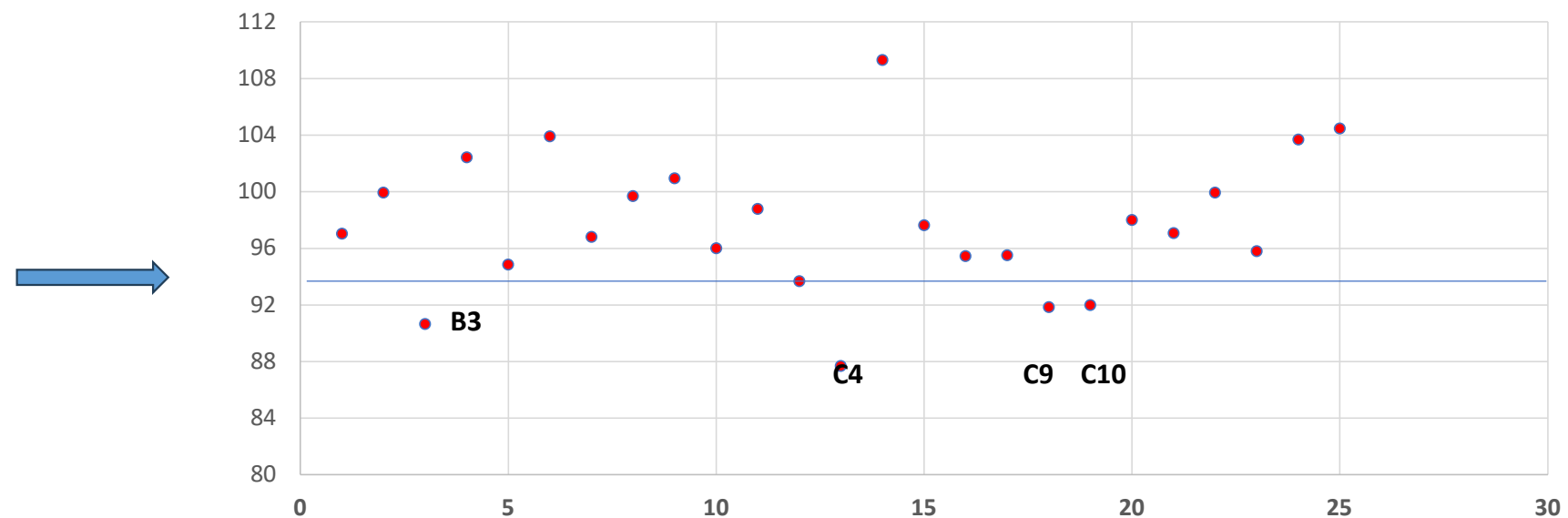
## $G^* \cdot \text{sen}\delta$ – resistência a trincas por fadiga



Todos com Ângulo de fase > 42

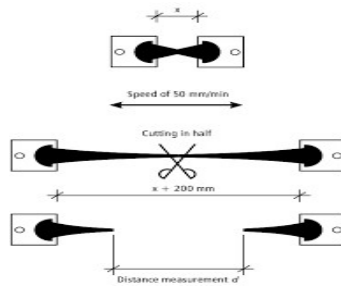
## Faixa SUPERPAVE PG versus 92º (asfalto superior)

### Faixa de PG AB e AMP

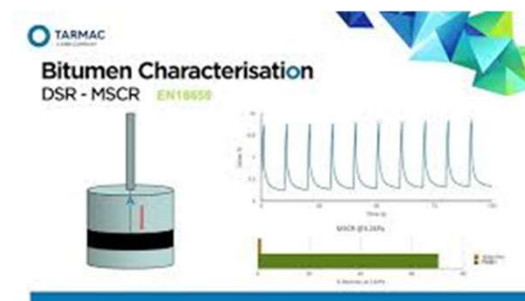


# Ensaios plus com limites - DOT americanos

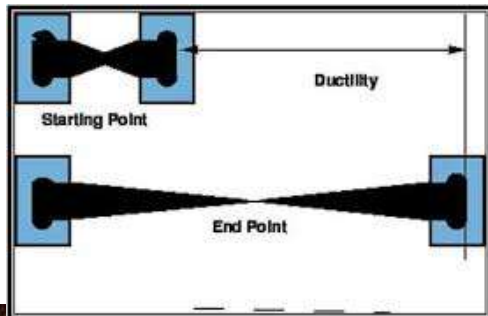
Retorno elástico (4 ou 25°C)



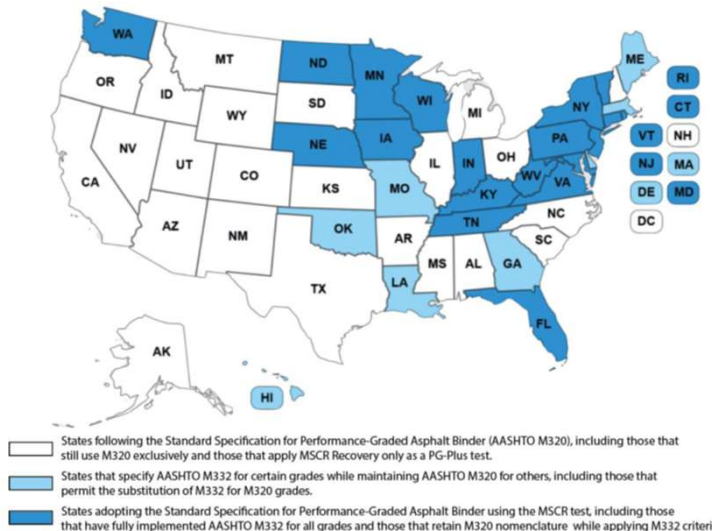
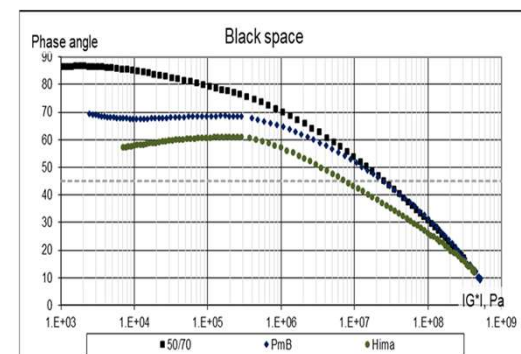
Recuperação elástica MSCR



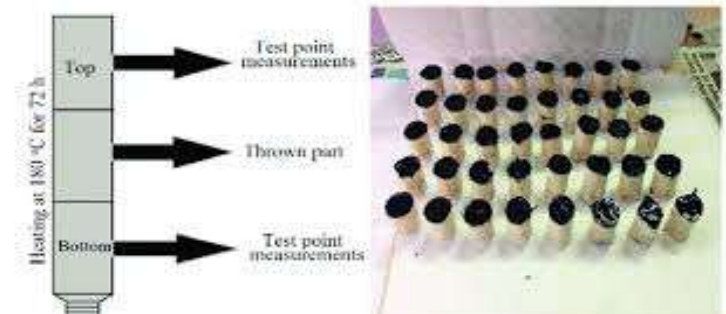
Ductilidade (4 ou 25°C)



Ângulo de fase PG alta



Estabilidade a estocagem



# África do Sul

## Considerações importantes

- Viscosidade a 165°C alto cisalhamento;

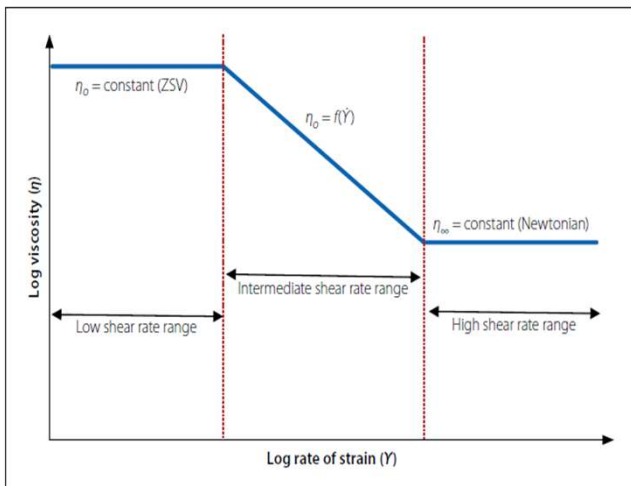


Figure 8 Schematic representation of viscosity ranges for bitumen

- Delta Tc;
- Estabilidade a estocagem a 180°C;
- Parâmetro de envelhecimento  $G^*_{env}/G^*_{vir}$  a T intermediária (temperatura de 20 a 30°C) com índices semelhantes aos usados no passado para viscosidade a 60°C.

Test Property	58S-22	58H-22	58V-22	S8E-22	64S-16	64H-16	64V-16	64E-16	70S-10	70H-10	70V-10	70E-10	Test Method					
Max pavement design temperature (°C) ( $T_{max}$ )	58	58	58	58	64	64	64	64	70	70	70	70	ASTM D7175					
Minimum grading temperature (°C) ( $T_{min}$ )	-22	-22	-22	-22	-16	-16	-16	-16	-10	-10	-10	-10	ASTM D7175					
$G^*$ and $\delta$ at $[(T_{max} + T_{min})/2+4]^\circ C$	Compulsory report only – see detail description of report only Item										ASTM D7175							
$G^*\sin \delta @ 10\text{ rad/s (kPa)} @ T = T_{max}$ Report $G^*$ and $\delta$ separately	Report only										ASTM D7175							
Viscosity at 165°C (Pa.s) $\geq 30\text{ sec}^{-1}$	$\leq 0.9$										ASTM D4402							
Storage stability at 180°C (% diff in $G^*$ at $T_{max}$ )	$\leq 15$										ASTM D7175							
Flash Point (°C)	$\geq 230$										ASTM D92b							
After RTFO Ageing																		
$G^*$ and $\delta$ at $[(T_{max} + T_{min})/2+4]^\circ C$	Compulsory report only – see detail description of report only Item										ASTM D7175							
Mass change (% m/m)	$\leq 0.3$	$\leq 1.0$	$\leq 0.3$	$\leq 1.0$	$\leq 0.3$	$\leq 1.0$	$\leq 0.3$	$\leq 1.0$	$\leq 0.3$	$\leq 1.0$	ASTM D2872 / TG1 MB3							
$J_{NP}$ at $T_{max}$ (kPa $^{-1}$ )	$\leq 4.5$	$\leq 2.0$	$\leq 1.0$	$\leq 0.5$	$\leq 4.5$	$\leq 2.0$	$\leq 1.0$	$\leq 0.5$	$\leq 4.5$	$\leq 2.0$	$\leq 1.0$	$\leq 0.5$	ASTM D7405					
Ageing ratio [ $G^*_{RTFO}/G^*_{Original}$ ]	$\leq 3.0$										ASTM D7175							
After RTFO plus PAV Ageing																		
$G^*$ and $\delta$ at $[(T_{max} + T_{min})/2+4]^\circ C$	Compulsory report only – see detail description of report only Item										ASTM D7175							
Maximum creep stiffness tested at temperature $(T_{min} + 10^\circ C)$ , MPa, [S(60s) $\leq 300$ MPa]	$-12^\circ C$				$-6^\circ C$				$0^\circ C$				ASTM D6648					
Minimum m-value tested at temperature $(T_{min} + 10^\circ C)$ , [m(60s) $\geq 0.300$ ]	$-12^\circ C$				$-6^\circ C$				$0^\circ C$									
$\Delta T_c$ ( $^\circ C$ ) = $T_{cS} - T_{cM}$	$\geq -5$										ASTM D7643							
Ageing ratio [ $G^*_{PAV}/G^*_{Original}$ ]	$\leq 6.0$										ASTM D7175							

# Conclusões – Superpave

## O que pode ser melhorado

- África do Sul emprega viscosidade a altas taxas de cisalhamento e alta temperatura para AMP;
- Necessidade de incluir ensaio de envelhecimento ( Tint ou T alta) ?
- Inclusão de ensaio de estabilidade a estocagem;
- Incluir ângulo de fase para distinção de modificados dos não modificados;
- Inclusão de ensaios empíricos (DOT) ?
- AB necessita de desenvolvimento de ensaio de viscosidade com spindle helicoidal ?;

## Enquadramento das amostras

- Superpave diferencia ligantes no MSCR e no PG de alta temperatura, mas não diferencia na resistência à fadiga;
- Alguns ligantes AMP não são vistos como modificados, segundo a faixa de PG 92;

## **Avaliação dos ligantes asfálticos quanto ao enquadramento das especificações propostas pela Petrobras**

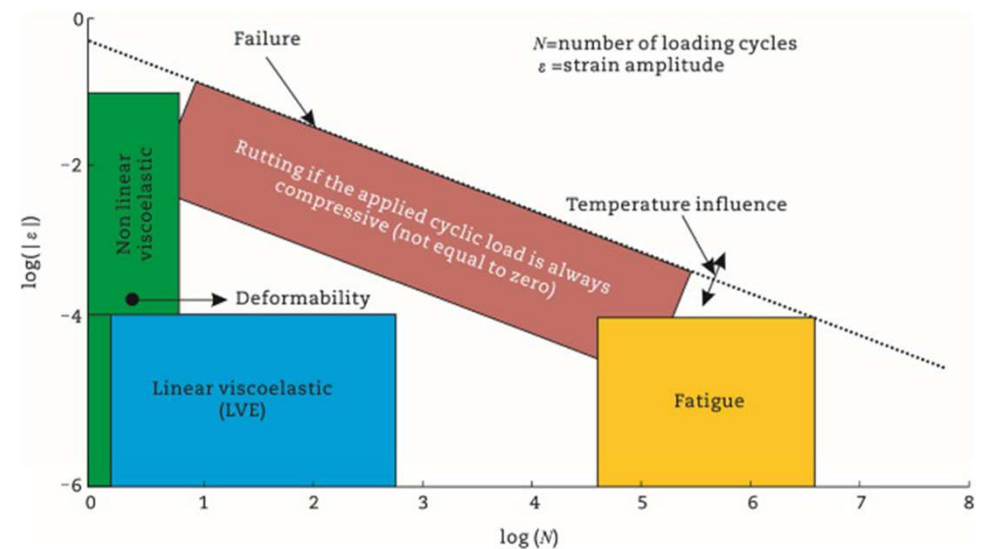
# Proposta Petrobras



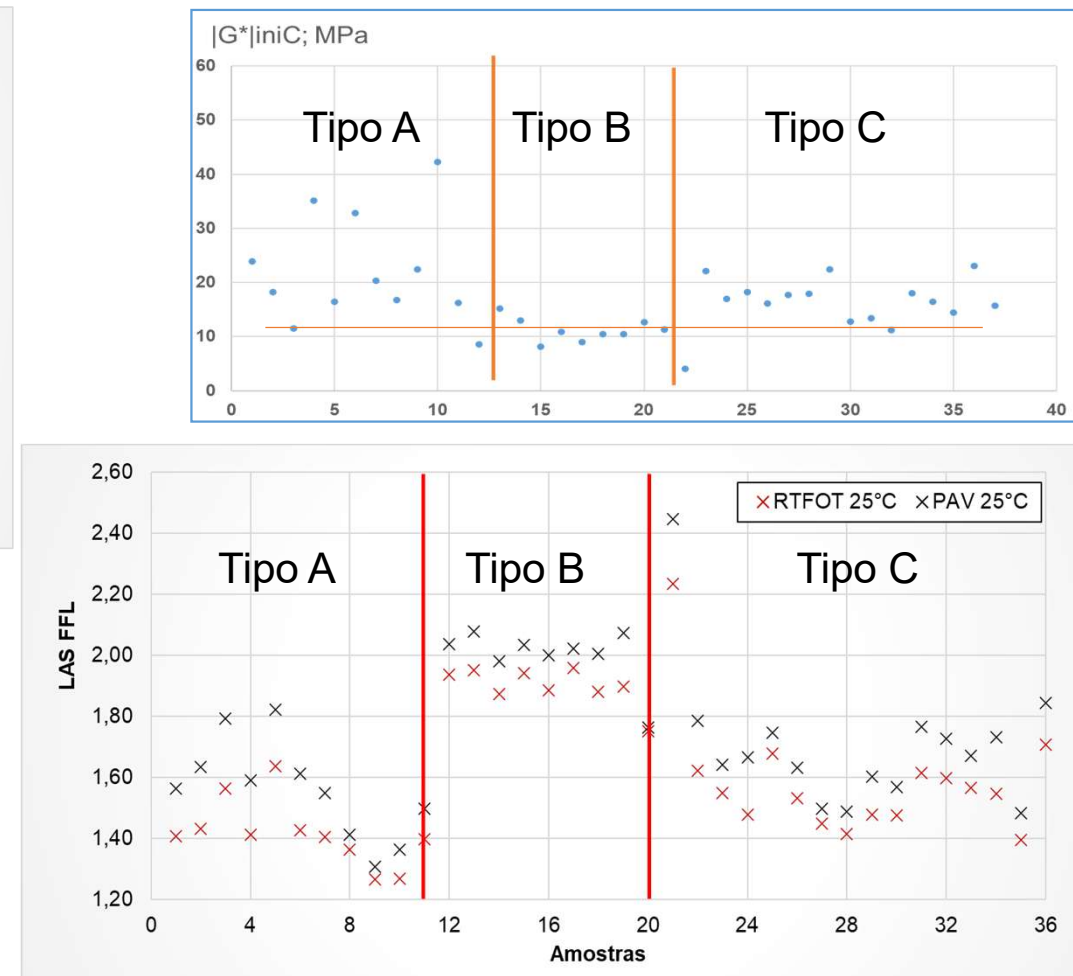
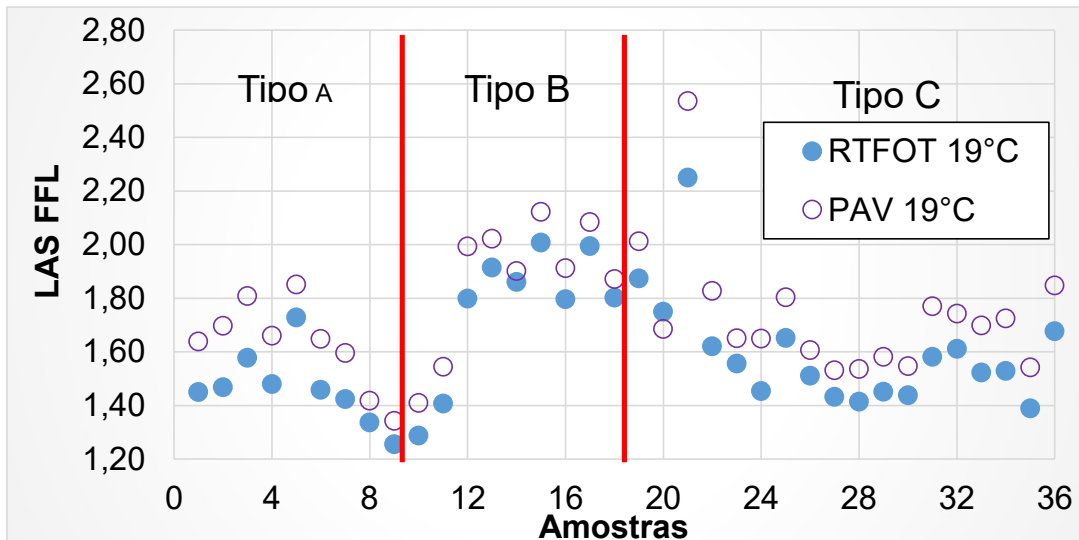
Característica	Unidade	Limites			
		CAP 5	CAP 10	CAP 25	CAP 40
Ligante virgem					
$ G^* /\text{sen}(\delta)$ a 64°C e 1,59 Hz	kPa	$0,5 \leq  G^* /\text{sen}(\delta) < 1,0$	$1,0 \leq  G^* /\text{sen}(\delta) < 2,5$	$2,5 \leq  G^* /\text{sen}(\delta) < 4,0$	$4,0 \leq  G^* /\text{sen}(\delta) < 6,0$
Viscosidade rotacional a 135°C, SP21, 20 RPM	cP	$\leq 3000$			
Viscosidade rotacional a 150°C, SP21, 50 RPM	cP	$\leq 2000$			
Viscosidade rotacional a 177°C, SP21, 100 RPM	cP	$\leq 1000$			
Ponto de fulgor	°C	$\geq 235$			
Solubilidade em tricloroetileno	% massa	$\geq 99,5$ (apenas para ligantes não modificados)			
Ensaio de separação de fases	$R_{\text{topo/fundo}}^{\text{A}}$	$0,7 \leq R_{\text{topo/fundo}} \leq 1,4$ (apenas para ligantes modificados)			
Ligante após RTFOT					
MSCR - $J_{nr3200}$ a 64°C	1/kPa	$\leq 9,25$	$\leq 4,80$	$\leq 2,50$	$\leq 1,25$
MSCR - $\%_{rec}$ a 64°C	%	Se $\%_{rec}$ a 64°C $\geq 29,371 \times [J_{nr3200} \text{ a } 64^\circ\text{C}]^{0,2633}$ - E Se $\%_{rec}$ a 64°C $< 29,371 \times [J_{nr3200} \text{ a } 64^\circ\text{C}]^{0,2633}$ - M (apenas para ligantes modificados)			
LAS - $FFL_{PSE}$ a 19°C	log número de ciclos	$\geq 1,31^{\text{B}}$	$\geq 1,22$		
LAS - $ G^* _{ini}^{\text{C}}$ a 19°C	MPa	$\leq 25,00$	$\leq 40,00$	$\leq 55,00$	$\leq 75,00$
Variação de massa	% massa	$\leq 1,00$			
Classificação / denominação por desempenho					
Ligantes convencionais (não modificados)	CAP 5-D-F	CAP 10-D-F	CAP 25-D-F	CAP 40-D-F	
Ligantes modificados	CAP 5-D-F-M	CAP 10-D-F-M	CAP 25-D-F-M	CAP 40-D-F-M	
	Sendo: D = Classe de deformação permanente (tabela IX) F = Classe de fadiga (tabela VIII) M = Designação utilizada quando o ligante tiver qualquer tipo de modificação: E ou M conforme $\%_{rec}$ a 64°C				

## Vantagens do Ensaio LAS

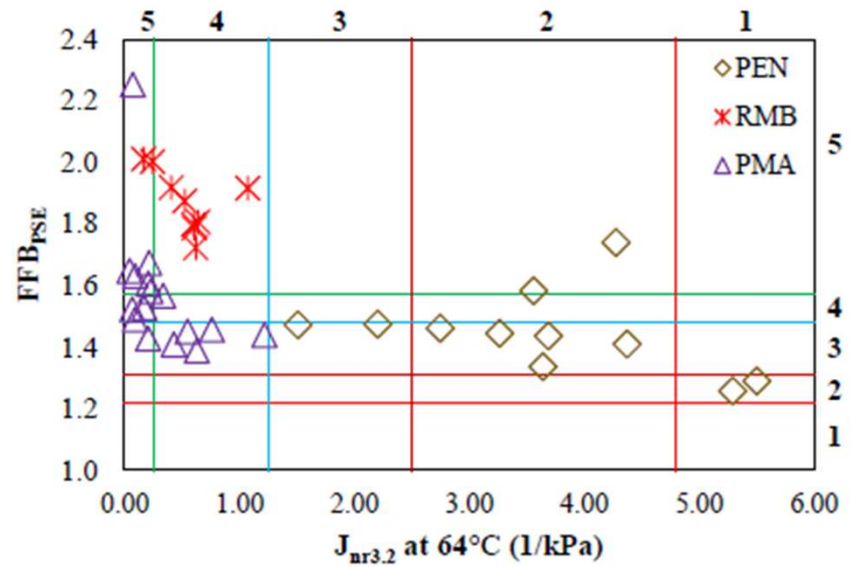
- Ser realizado fora da zona LVE, onde ocorre o dano;
- Correlação com ensaios de misturas asfálticas segundo experiência brasileira ;
- Ensaio simples e rápido
- NCHRP - R e GRP (2022) são parâmetros LVE, sendo que R se correlaciona com LAS – FFL (PSE);



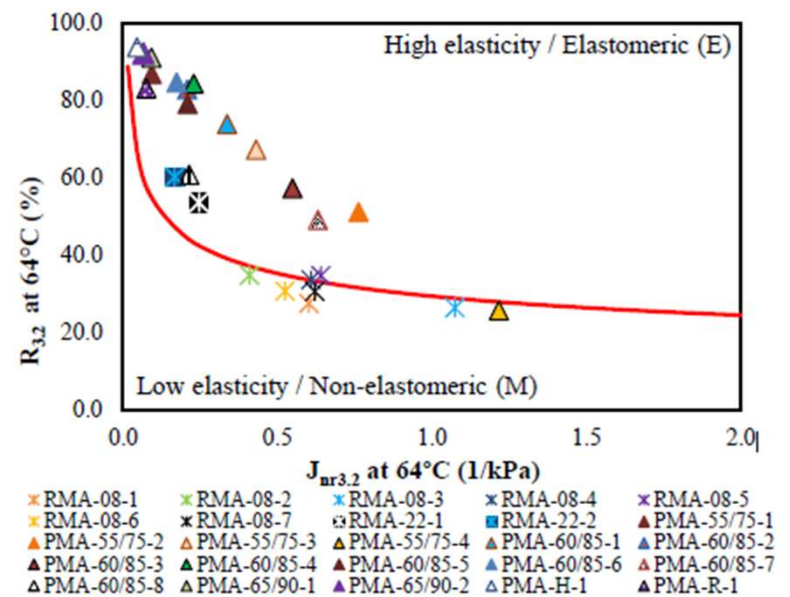
# LAS / RTFOT & PAV



# LAS, MSCR e R%



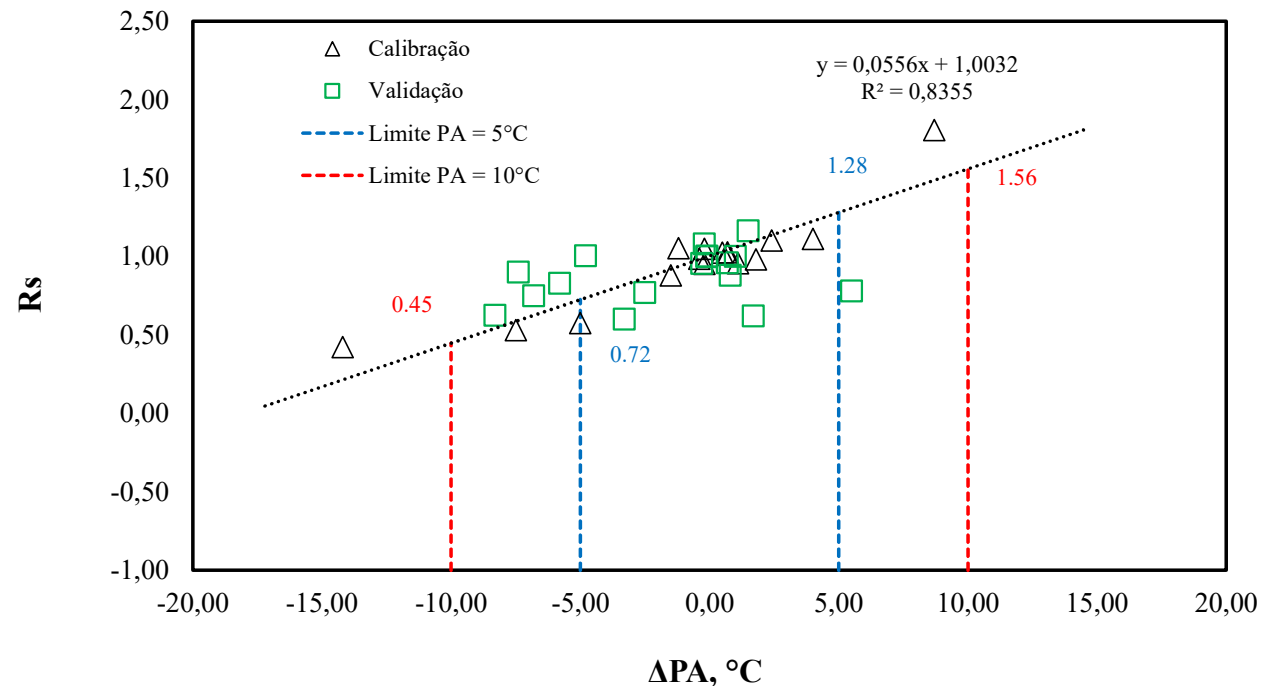
**Figure 4.10 - Performance classification of asphalt binders based on Petrobras 2022 specification proposal for FFB<sub>PSE</sub> at 19°C and J<sub>nr3.2</sub> at 64°C**



# Estabilidade a estocagem

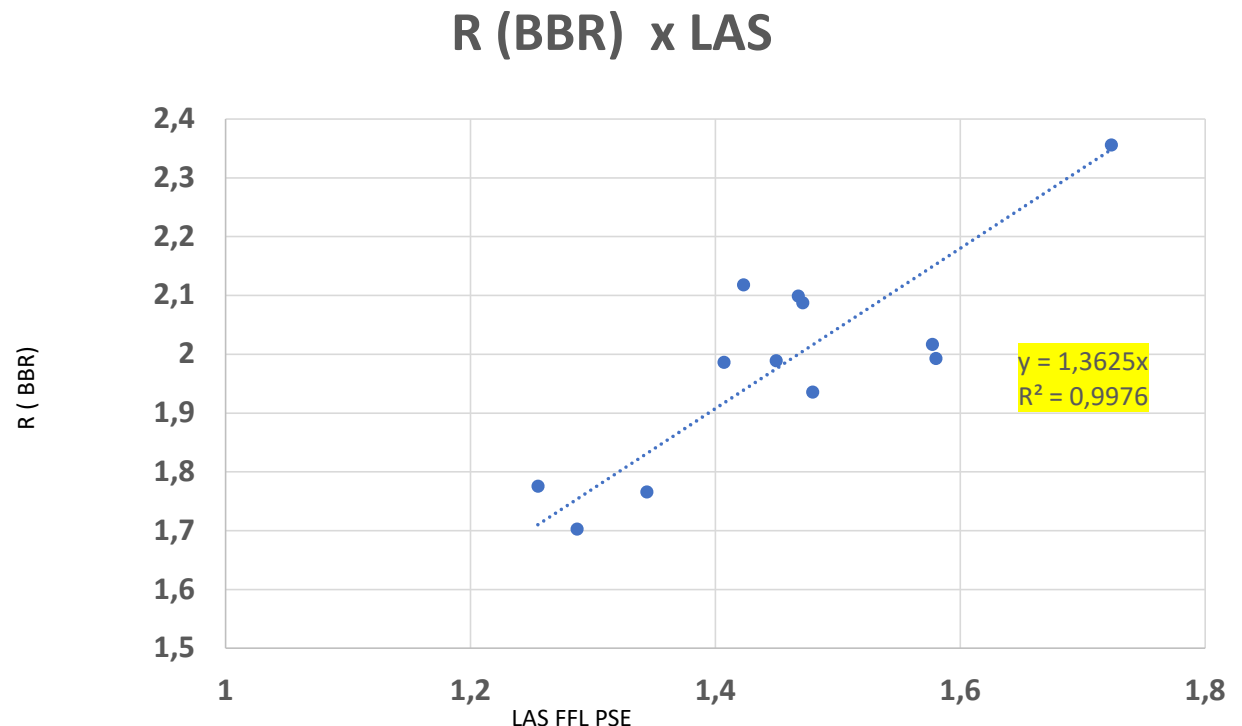
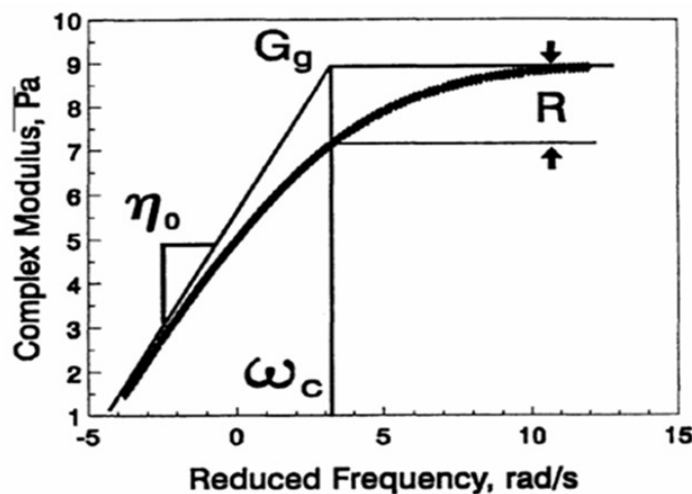
- $R_s$  para asfaltos polímeros seriam de 0,72 e 1,28
- Literatura (0,80-1,20)
- Proposta Petrobras de 0,7 a 1,4.

Asfalto borracha entre 0,4 e 1,6



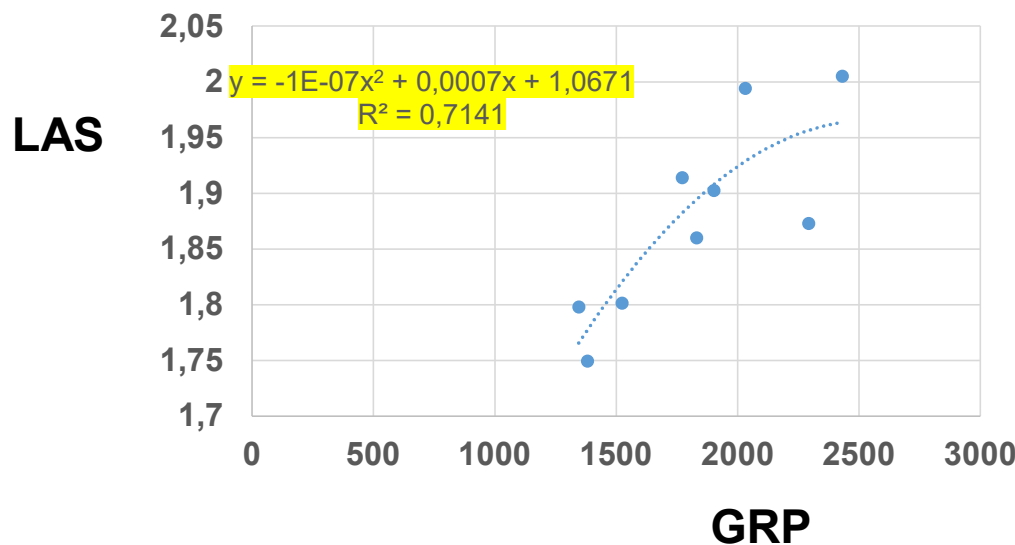
$$R_s = \frac{(|G^*|/s en\delta)_t}{(|G^*|/s en\delta)_b} \quad 64^\circ C$$

# Correlações de índices de trincamento de CAP – LAS

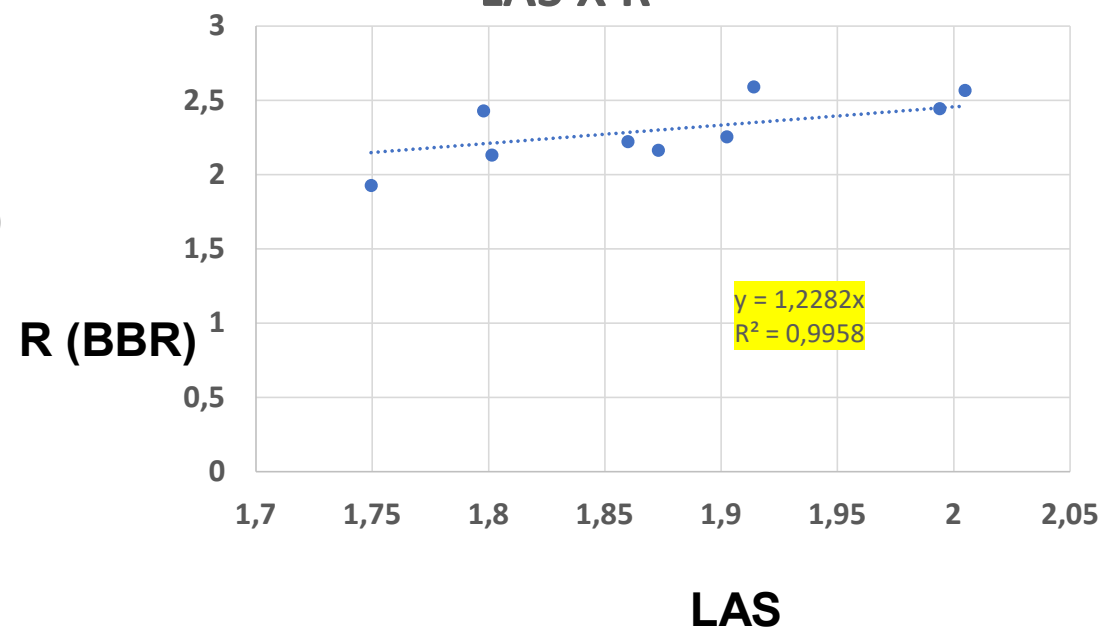


# Correlações de índices de trincamento de AB – LAS

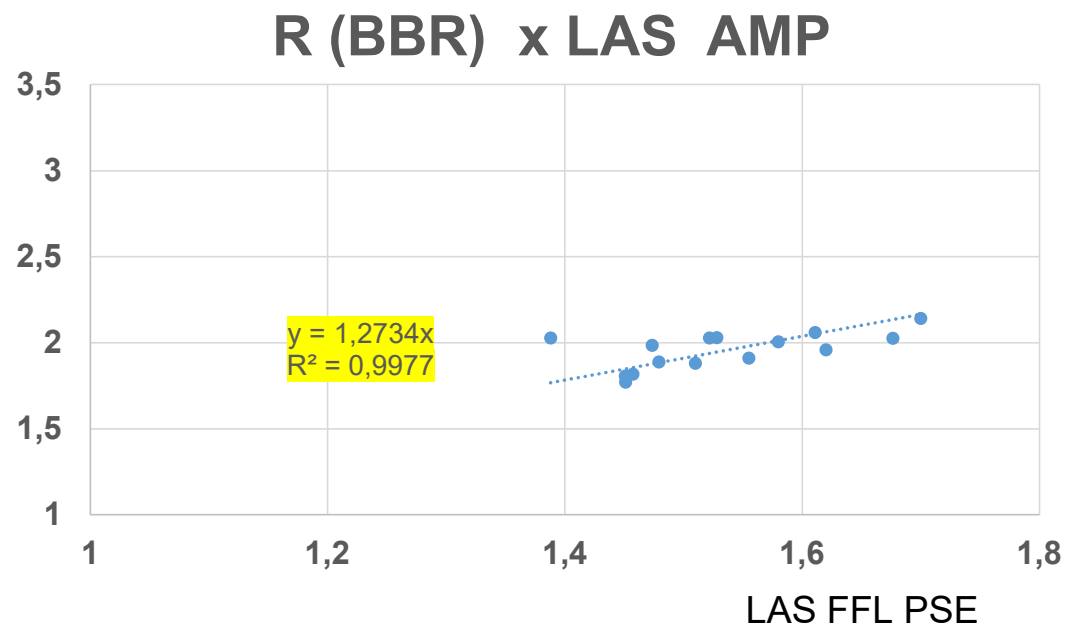
LAS x GRP



LAS X R



# Correlações de índices de trincamento de AMP – LAS



Sem o AMP russo, apenas amostras ABEDA

## Classificação proposta Petrobras

---

		DEF PERM	FADIGA
A1	50/70	1	3
A2	50/70	2	3
A3	50/70	2	5
A4	30/45	3	3
A5	50/70	2	5
A6	30/45	3	3
A7	50/70	2	3
A8	50/70	2	3
A9	50/70	2	2
A10	30/45	3	2
A11	50/70	1	3
A12	50/70	2	5

CAP

Nenhum com desempenho XX  
4-4 nem XX 5-5, classe 3 para baixo

# Classificação proposta Petrobras

		DEF PERM	FADIGA
B1	AB-8	4	5
B2	AB-8	4	5
B3	AB-8	4	5
B4	AB-22	5	5
B5	AB-8	4	5
B6	AB-22	5	5
B7	AB-8	4	5
B8	AB-8	4	5
B9	AB-8	4	5

AB

todos com desempenho entre XX 4-4 e XX 5-5

		DEF PERM	FADIGA
C1	76-28	5	5
C2	55/75	5	5
C3	60/85	4	4
C4	55/75	4	3
C5	HiMA	5	5
C6	65/90	5	4
C7	60/85	5	3
C8	55/75	4	3
C9	60/85	4	3
C10	55/75	4	3
C11	60/85	5	5
C12	60/85	5	5
C13	65/90	5	4
C14	60/85	5	4
C15	60/85	4	3
C16	60/85	5	5

AMP

A maioria com desempenho entre XX 4-4 e XX 5-5, apenas 6 amostras com 3 na resistência a fadiga

## Conclusões - Proposta Petrobras

---

- Há diferenciação de asfaltos modificados e não modificados por meio do FFL-PSE
- Não tem parâmetro de envelhecimento;
- Diferencia asfalto elastomérico por meio da recuperação elástica;
- Inclui estabilidade à estocagem;
- Segundo a especificação, CAP podem ser classe 1, ou 2, ou 3, enquanto AB podem ser classe 4, ou 5 e AMP podem ser classe 3, ou 4 ou 5;
- Também foi verificado que determinados AMP tem desempenho semelhante ao CAP quanto a fadiga.

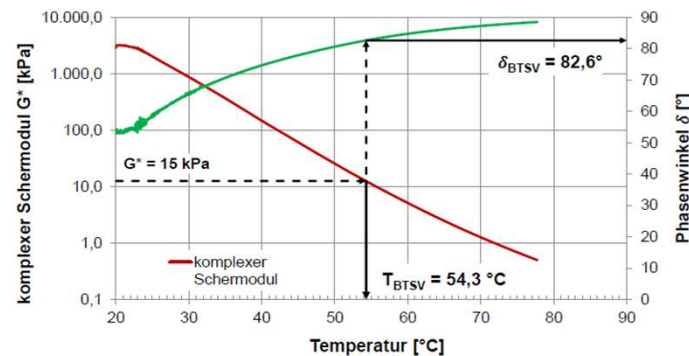
---

## Avaliação dos ligantes asfálticos quanto aos índices reológicos

# Alemanha

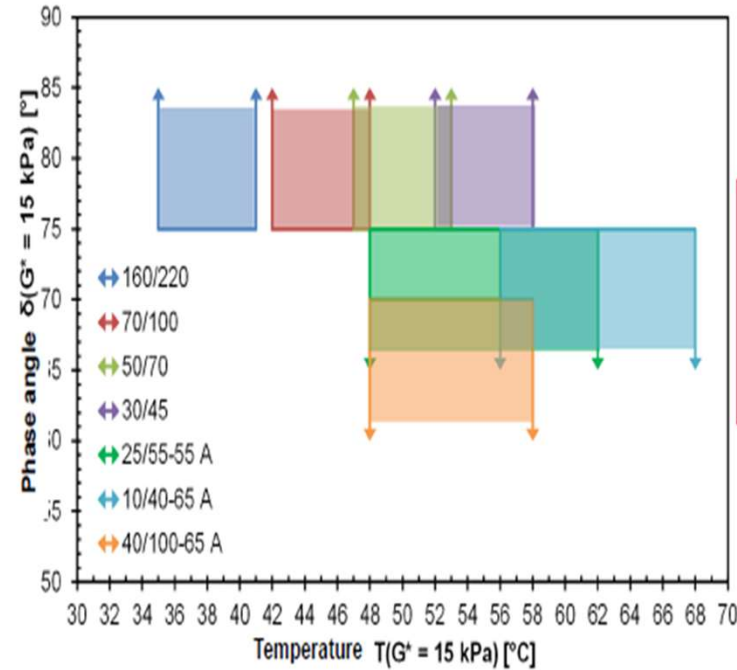
## Test parameters

Binder-Fast-Characterization-Test (BTSV)	
▪ Test geometry:	25 mm parallel-plate with a gap of 1 mm
▪ Test temperature:	Starting temperature 20 °C, temperature rate 1.2 K/min
▪ Frequency:	1.59 Hz
▪ Shear stress:	500 Pa (oscillation)
▪ Characteristic values:	Temperature $T(BTSV)$ at $G^* = 15 \text{ kPa}$ and associated phase angle $\delta(BTSV)$
▪ Test time including pre-temping:	1.5 h



## European Standards

Graphical visualization of the required values according to ARS 08/2019 in Germany



- $\delta \geq 75^\circ \rightarrow$  plain asphalt binder
- $\delta \leq 75^\circ \rightarrow$  polymer modified asphalt binder

# Reologia nas especificações como Ensaios Plus com limites

**Requirements of the regulations**

**Entwurf der TL Bitumen-StB, vom 15.09.2023**

→ Plain binder

Tabelle 1a: Zusätzliche Anforderungen an die rheologischen Eigenschaften von Straßenbaubitumen

Merkmal oder Eigenschaft	Einheit	Prüfmethode	Sorten					
			20/30	30/45	50/70	70/100	160/220	250/330
Aqui-Schermodultemperatur T(G*=15 kPa) bei 1,59 Hz	°C	TP Bitumen-StB Teil 3	≤ 63	≤ 60	≤ 54	≤ 51	≤ 43	≤ 38
Phasenwinkel $\delta(G*=15 \text{ kPa})$ bei 1,59 Hz	*		≥ 75	≥ 75	≥ 75	≥ 75	≥ 75	≥ 75
Beständigkeit gegen Verhärtung unter Einfluss von Wärme und Luft nach DIN EN 12607-1 bei 163 °C								
Zunahme der Aqui-Schermodultemperatur T(G*=15 kPa)	°C	TP Bitumen-StB Teil 3	≤ 6	≤ 6	≤ 9	≤ 9	≤ 11	≤ 11
Abfall des Phasenwinkels $\delta(G*=15 \text{ kPa})$	*		≤ 6	≤ 6	≤ 6	≤ 6	≤ 6	≤ 6
Beständigkeit gegen Verhärtung unter Einfluss von Wärme und Luft nach DIN EN 12607-1 bei 163 °C und beschleunigter Langzeit-Alterung nach DIN EN 14769 bei 100 °C								
Zunahme der Aqui-Schermodultemperatur T(G*=15 kPa)	°C	TP Bitumen-StB Teil 3	≤ 18	≤ 18	≤ 18	≤ 18	≤ 18	≤ 18
Abfall des Phasenwinkels $\delta(G*=15 \text{ kPa})$	*		≤ 12	≤ 12	≤ 12	≤ 12	≤ 12	≤ 12
Verhalten bei tiefen Temperaturen im Biegebalkenheizometer T(S=300 MPa)								
Verhalten bei tiefen Temperaturen im Biegebalkenheizometer T(S=300 MPa)	°C	TP Bitumen-StB Teil 4	≤ -3	≤ -6	≤ -9	≤ -12	≤ -15	≤ -18
m(S=300 MPa)	*		IA	IA	IA	IA	IA	IA

IA = Ist anzugeben. Für die Eigenschaft ist vom Hersteller ein Wertebereich zu deklarieren.

T. Sigworth | STSV - Ausbausch Dresdin | 16. Mai 2024 | 13

**Pflichtenheft für Straßen- und Verkehrswesen: Arbeitsgruppe Asphaltbaubeton:**

**TL Bitumen-StB 25**

**Technische Lieferbedingungen für Straßenbaubitumen und gebrauchsfertige Polymermodifizierte Bitumen**

Ausgabe 2025

R1

**Temperatura e ângulo de fase equivalentes a 15Pa, medidos no ligante virgem, após RTFOT a apóis RTFO+ PAV**

## Requirements of the regulations

### Entwurf der TL Bitumen-StB, vom 15.09.2023

#### → Polymer modified binder

Tabelle 2a: Zusätzliche Anforderungen an die rheologischen Eigenschaften von Elastomermodifizierten Bitumen (PmB A)

Merkmal oder Eigenschaft	Einheit	Prüfmethode	Sorten					
			10/40-65 A	25/55-55 A	45/80-50 A	45/80-65 A	65/105-70 A	120/200-40 A
Aqui-Schermodultemperatur T(G*=15 kPa) bei 1,59 Hz	°C	TP Bitumen-StB Teil 3	≤ 68	≤ 62	≤ 56	≤ 58	≤ 53	≤ 48
Phasenwinkel $\delta(G*=15 \text{ kPa})$ bei 1,59 Hz	*		≤ 75	≤ 75	≤ 75	≤ 70	≤ 70	≤ 75
Beständigkeit gegen Verhärtung unter Einfluss von Wärme und Luft nach DIN EN 12607-1 bei 163 °C								
Zunahme der Aqui-Schermodultemperatur T(G*=15 kPa)	°C	TP Bitumen-StB Teil 3	≤ 8	≤ 8	≤ 8	≤ 8	≤ 8	≤ 8
Abfall des Phasenwinkels $\delta(G*=15 \text{ kPa})$	*		≤ 6	≤ 6	≤ 6	≤ 6	≤ 6	≤ 6
Beständigkeit gegen Verhärtung unter Einfluss von Wärme und Luft nach DIN EN 12607-1 bei 163 °C und beschleunigter Langzeit-Alterung nach DIN EN 14769 bei 100 °C								
Zunahme der Aqui-Schermodultemperatur T(G*=15 kPa)	°C	TP Bitumen-StB Teil 3	≤ 18	≤ 18	≤ 18	≤ 18	≤ 18	≤ 18
Abfall des Phasenwinkels $\delta(G*=15 \text{ kPa})$	*		≤ 12	≤ 12	≤ 12	≤ 12	≤ 12	≤ 12
Verhalten bei tiefen Temperaturen im Biegebalkenheizometer T(S=300 MPa)								
Verhalten bei tiefen Temperaturen im Biegebalkenheizometer T(S=300 MPa)	°C	TP Bitumen-StB Teil 4	≤ -9	≤ -12	≤ -15	≤ -15	≤ -18	≤ -18
m(S=300 MPa)	*		IA	IA	IA	IA	IA	IA

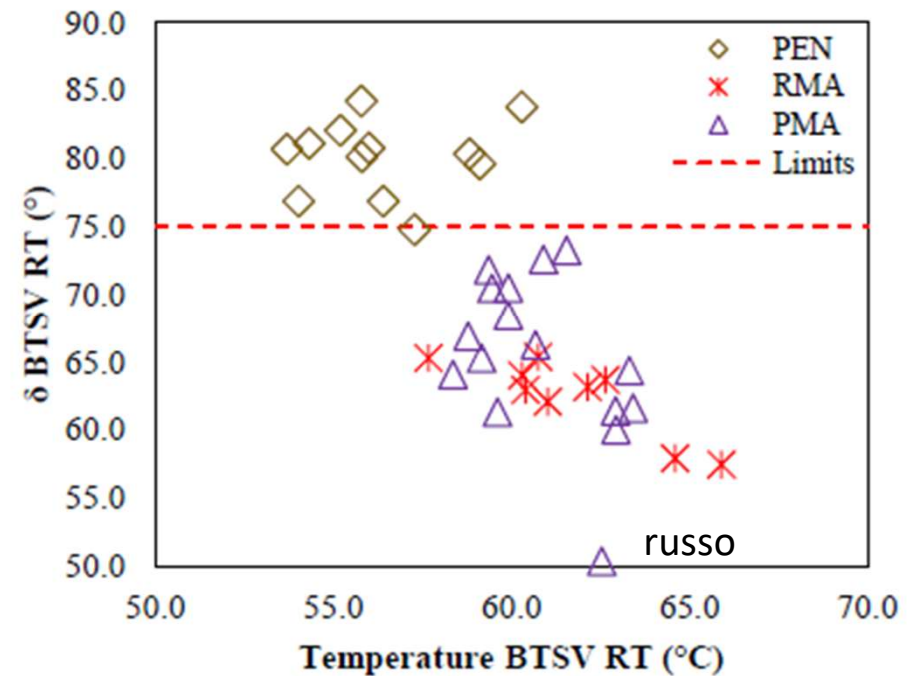
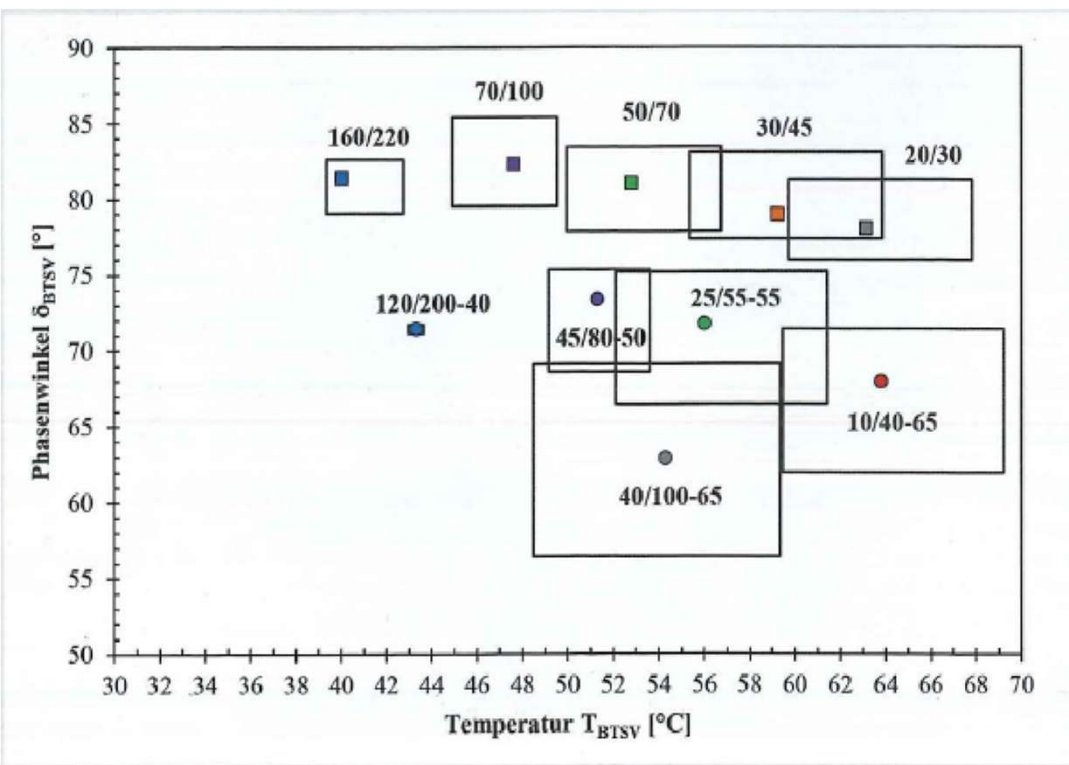
IA = Ist anzugeben. Für die Eigenschaft ist vom Hersteller ein Wertebereich zu deklarieren.

T. Sigworth | STSV - Ausbausch Dresdin | 16. Mai 2024 | 14

Fresh binder  
Short-term aged binder  
long-term aged binder



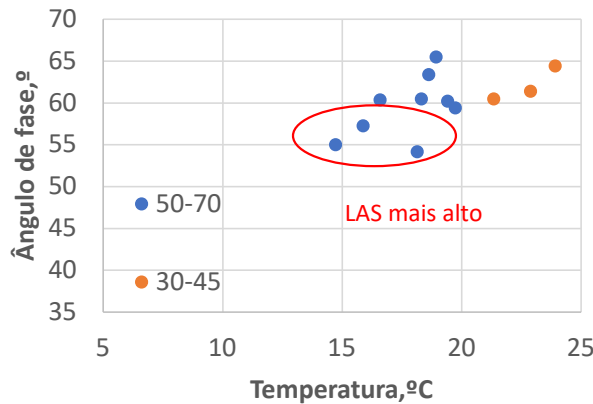
## ➤ Parâmetro de alta temperatura intermediária – especificado na Alemanha





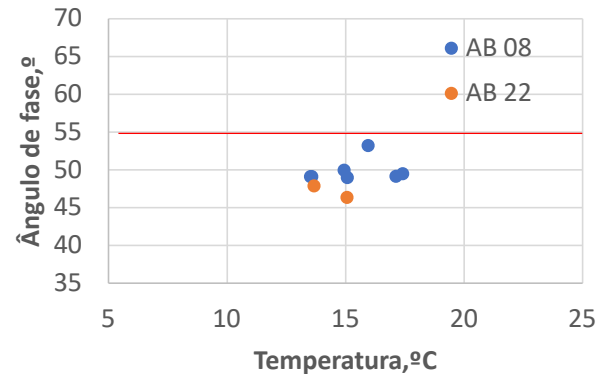
## ➤ Parâmetro de temperatura intermediária em estudo

BTSV CAP - temp intermediária

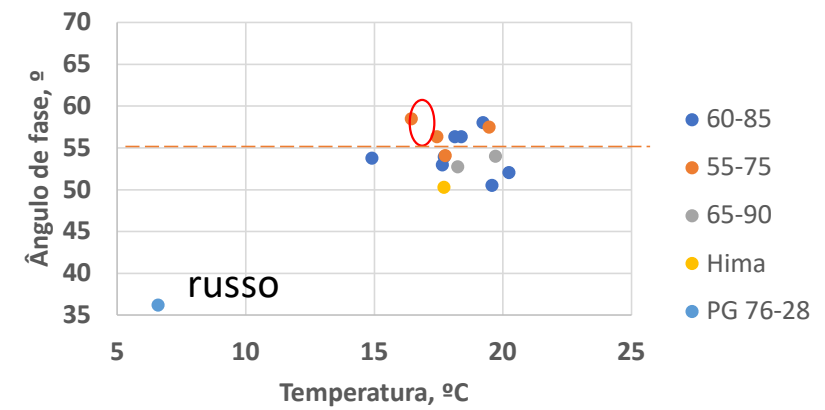


Linha de boa resistência a fadiga em angulo de fase de 55º

BTSV AB Temperatura intermediária



BTSV AMP Temperatura intermediária



Acima de 55º são os piores valores de LASFFL, menor que 1,5 para AMP 55-75 e alguns 60-85

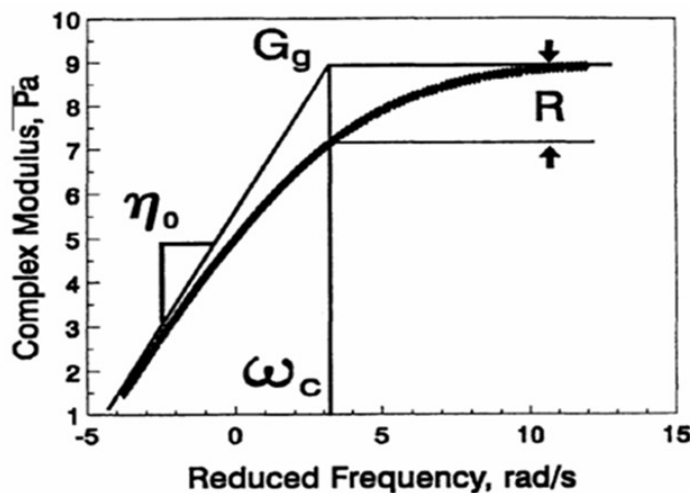
# Índices reológicos dos EUA - FADIGA

## NCHRP 09-59 (2022) - R e GRP com limites

$$R = \log(2) \frac{\log\left(\frac{S}{3.000}\right)}{\log(1-m)}$$

Resultados do BBR

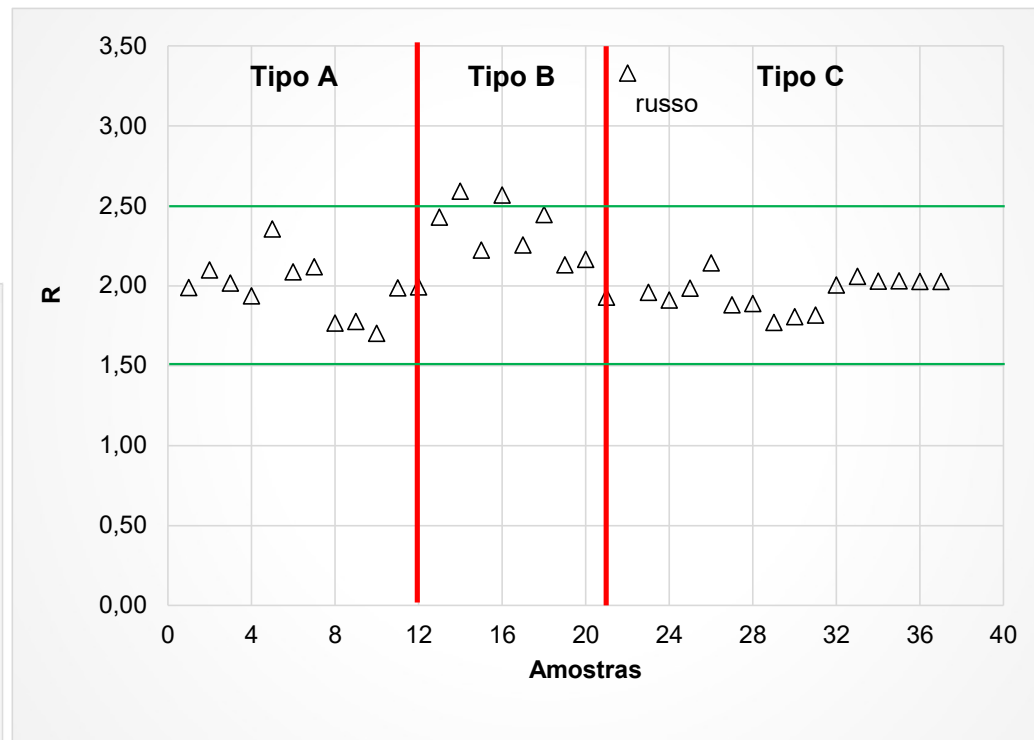
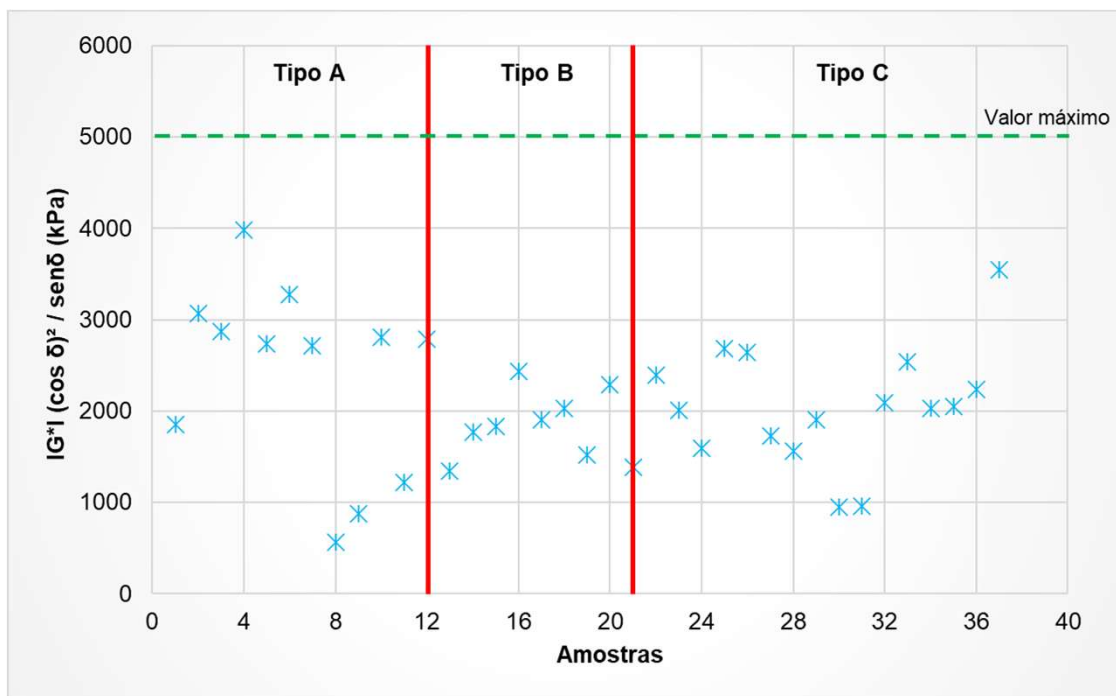
Limites de 1,5 a 2,5 ( 20h PAV)



PG de baixa temperatura	temperaturas de ensaio propostas (°C)
-46	15
-30	17
-34	19
-28	22
-22	25
-16	27
-10	29

O requisito  $|G^*| \text{ sen} \delta$  deve ser substituído pelo parâmetro Glover-Rowe ( $\text{GRP} = |G^*| \cos 2 \delta / \text{sen} \delta$ ), devendo ser determinado na frequência de 10 rad/s. O valor máximo para GRP após envelhecimento no RTFOT seguido do PAV 20 horas deve ser 5.000 kPa.

# GRP e R (NCHRP 9-59) - 2022



# Delta T<sub>c</sub> – índice de trincamento

$$T_{c,S} = T_1 + \left( \frac{(T_1 - T_2) * (\log 300 - \log S_1)}{\log S_1 - \log S_2} \right) - 10$$

$$T_{c,m} = T_1 + \left( \frac{(T_1 - T_2) * (0.300 - m_1)}{m_1 - m_2} \right) - 10$$

where,

$S_1$  = creep stiffness at  $T_1$ , MPa,

$S_2$  = creep stiffness at  $T_2$ , MPa,

$m_1$  = creep rate at  $T_1$ ,

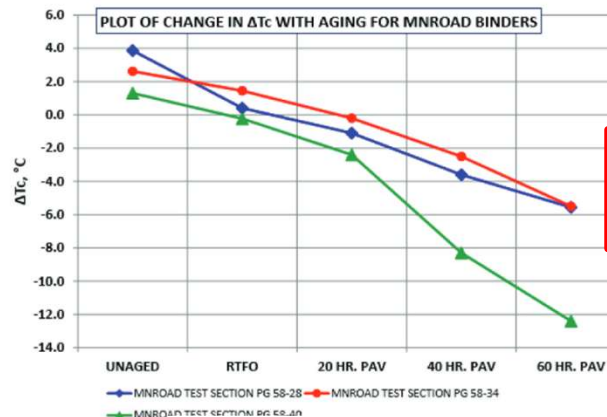
$m_2$  = creep rate at  $T_2$ ,

$T_1$  = temperature at which S and m passes, °C

$T_2$  = temperature at which S and m fails, °C.

Therefore, the equation for  $\Delta T_c$  becomes:

$$\Delta T_c = T_{c,S} - T_{c,m}$$



Delta T<sub>c</sub> ≥ -5 ou -2,5  
dependente do tempo de PAV

➤ Unmodified, Polymer-modified, ReOB-modified, SDA,  
PPA-modified, Biophalt, Oxidized, Airblown, Visbroken.

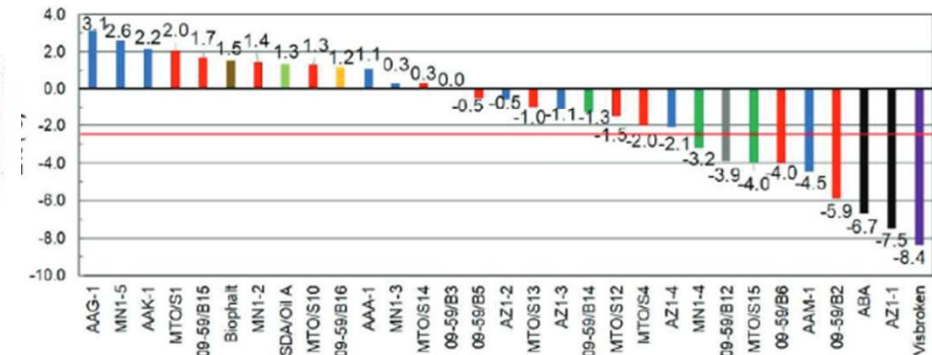
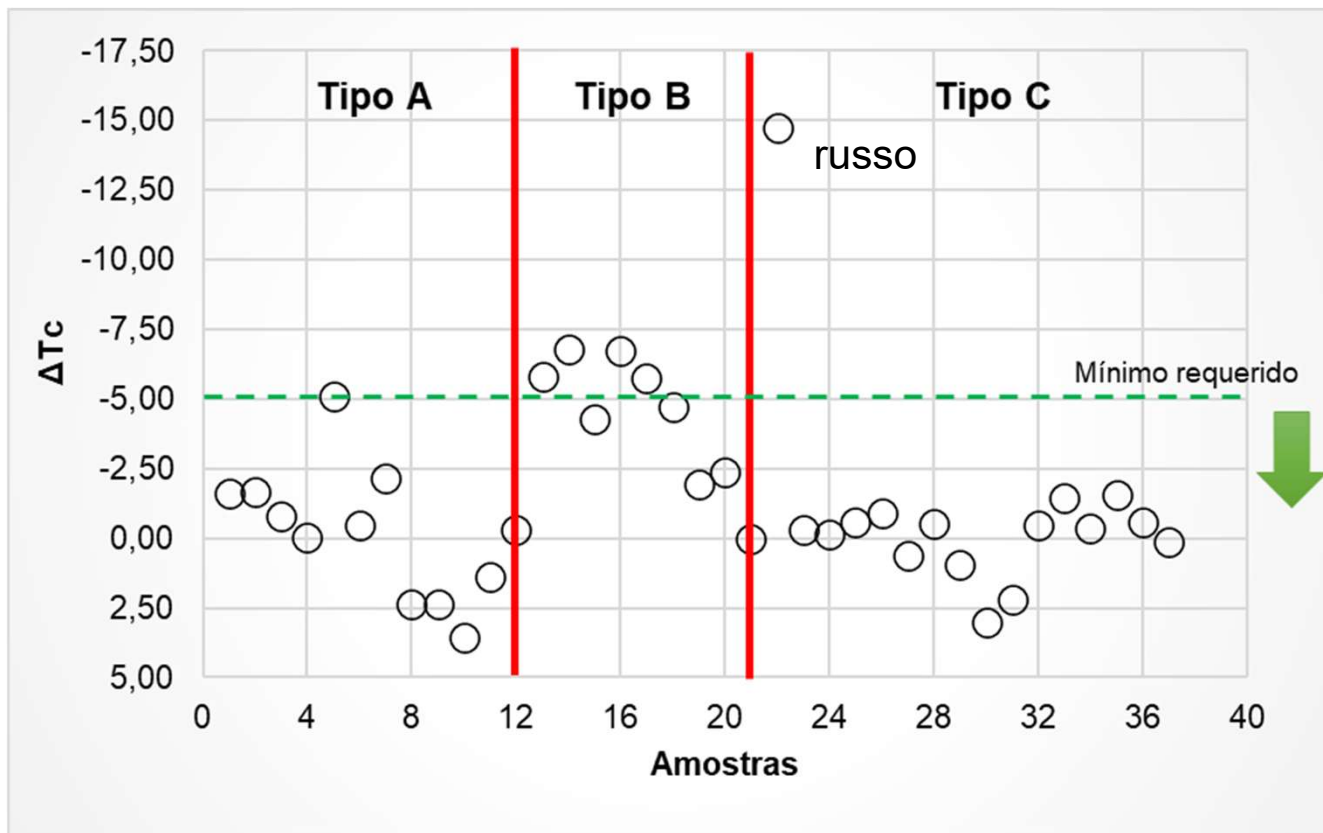
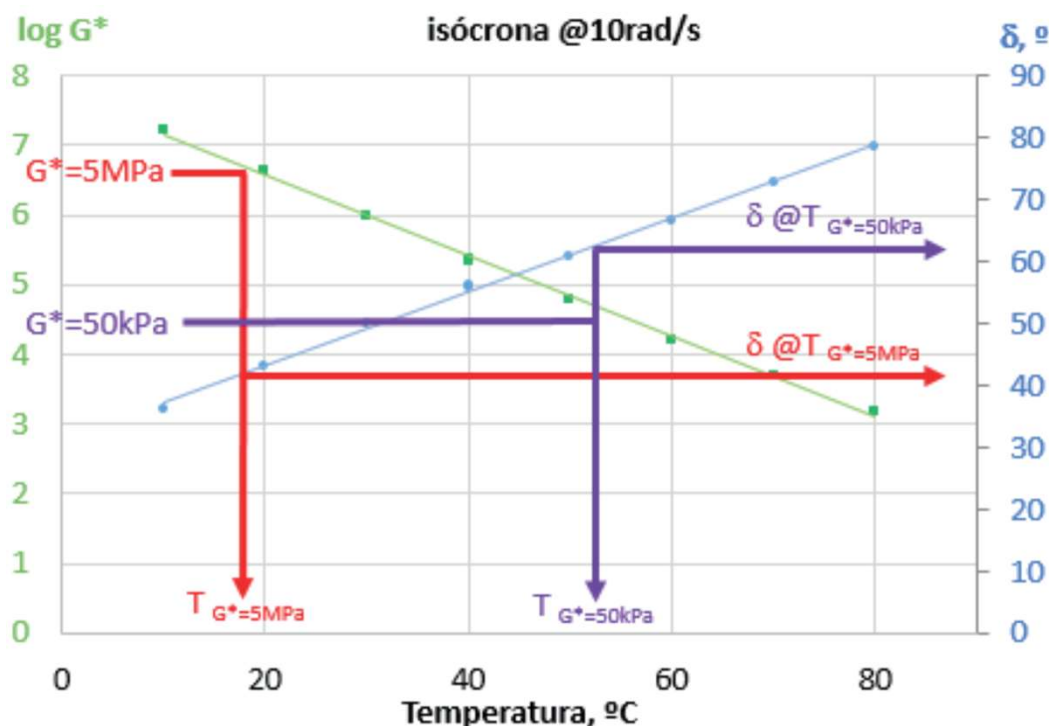


Figure 11.  $\Delta T_c$  (PAV20) of Various Binders from NCHRP 9-60 Research Project Database (4)

# Delta Tc

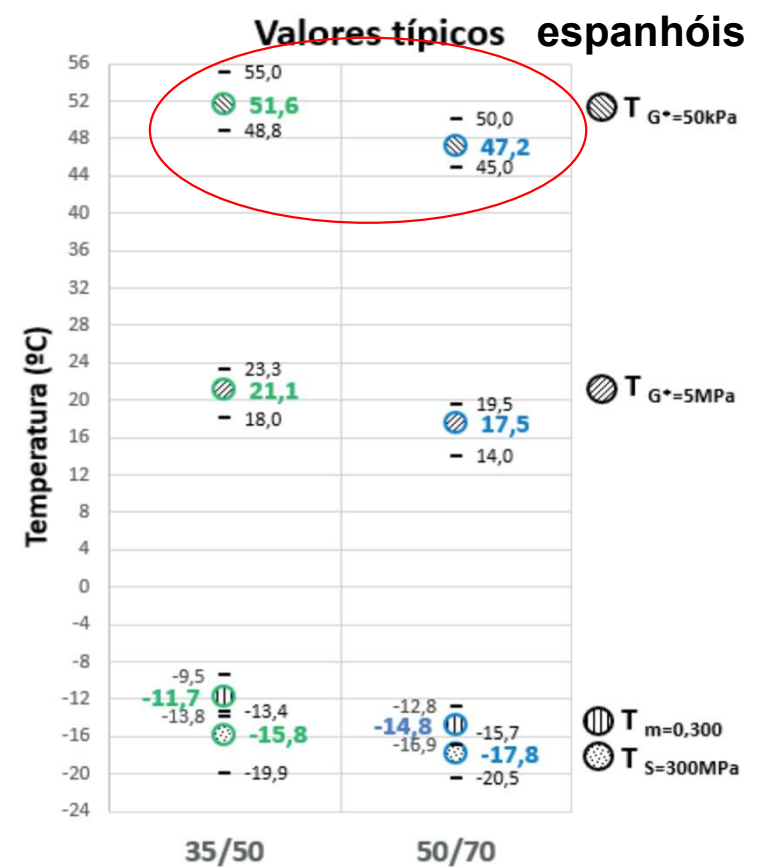
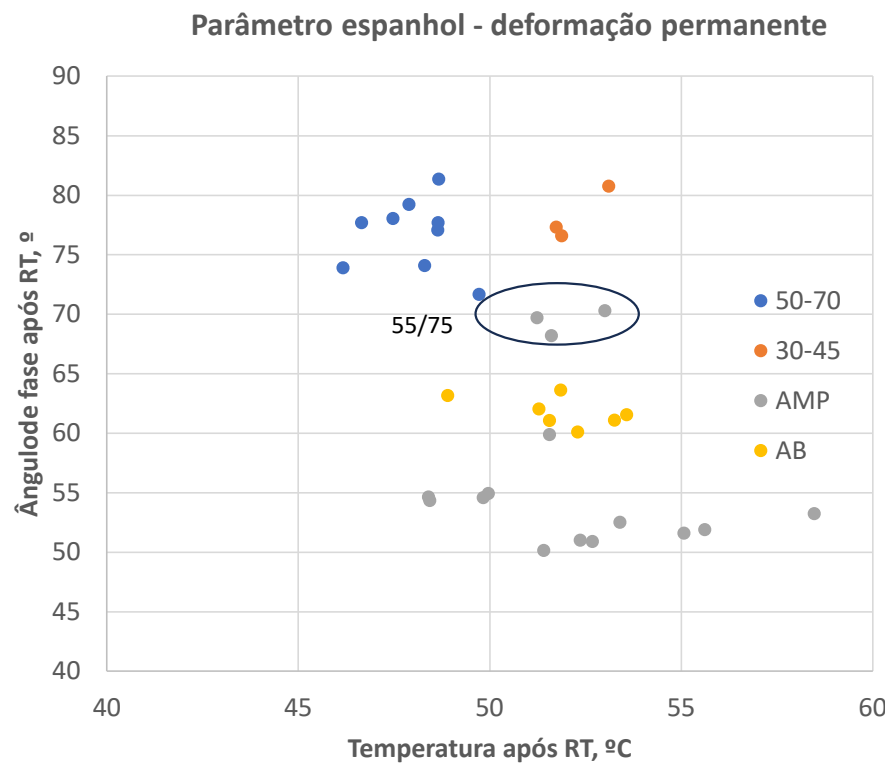


# Parâmetros espanhóis – fadiga e deformação permanente



El ensayo DSR descrito en la norma EN 14770, se basa en aplicar un esfuerzo cortante constante oscilatorio a una muestra de ligante colocada entre dos platos metálicos paralelos. El ensayo se realiza a temperaturas de 10°C a 80°C a frecuencias entre 0,1 Hz y 10 Hz. Las temperaturas a las cuales  $G^* = 5 \text{ MPa}$  y  $G^* = 50 \text{ kPa}$  se obtienen mediante interpolación logarítmica en la isocrona a una frecuencia de 1,59 Hz, de  $G^*$  vs T. Los ángulos de fase correspondientes se obtienen por interpolación lineal de las temperaturas obtenidas en la curva de d vs. T a dicha frecuencia.

# Parâmetros espanhóis CAP deformação permanente



# G\* a 15°C a 10Hz

Propiedad	Unidad	Método de ensayo	Dato
TS= 300 MPa, medida por el BBR(a)	°C	EN 14771	TBR
Tm=0,3, medida por el BBR(a)	°C	EN 14771	TBR
G* a 15 °C y 10 Hz medido mediante DSR(b)	MPa	EN 14770	TBR
TG*/senδ = 1 kPa a 1,6 Hz medido mediante DSR(b)	°C	EN 14770	TBR

a BBR = Reómetro de Flexión.

b DSR = Reómetro de corte dinámico (Dynamic Shear Rheometer) o cualquier otro reómetro capaz de medir un módulo complejo.

Proposta espanhola  
e inglesa BS



Binder for EME2	Characteristic	Test method	Unit	AS	STA	LTA	FPC frequency
Brookfield viscosity T200cP			°C	TBR	A		
T2000cP		BS EN 13302	°C	TBR			
T5000cP			°C	TBR			
G* and phase angle		BS EN 14770	Pa, degrees	TBR	A	A	A
VET temperature, G'=G'', at 0.4 Hz	see Clause 956		°C	TBR	A	A	A
G* at the VET temperature	Graphical output		Pa	TBR	A	A	A
G' and G'' mastercurves 80°C to 0°C			Graphical output	TBR	A	A	A
G'' and phase angle at 15°C, 10Hz and 20°C, 1Hz			Pa, degree	TBR	A	A	A
Ts=300MPa by BBR	BS EN 14771		°C	TBR	A(Q)	A(Q)	A(Q)
Tm=0.3, by BBR			°C	TBR	A(Q)	A(Q)	A(Q)



TABLE 9/8: (05/18) Binder Characteristics to be Reported

Characteristic	Test Method	Unit	Binder for EME2	FPC frequency		
				AS	STA	LTA
Brookfield Viscosity T 200cP	EN 13302	°C	TBR	A		
T 2000cP		°C	TBR		A	
T 5000cP		°C	TBR		A	
G* and Phase Angle	BS EN 14770	Pa, degrees	TBR	A	A	A
VET temperature, G'=G'', at 0.4 Hz		°C	TBR	A	A	A
G* at the VET temperature		Pa	TBR	A	A	A
G' and G'' Mastercurves 80°C to 0°C	Graphical Output	TBR	A	A	A	A
G'' and Phase Angle at 15°C, 10Hz and 20°C, 1Hz		Pa, degrees	TBR	A	A	A
T <sub>s=300</sub> MPa, by BBR	BS EN 14771	°C	TBR	A	A	A
T <sub>m=0.3</sub> , by BBR		°C	TBR	A	A	A
Pendulum Cohesion, min	BS EN 13588	J/cm <sup>2</sup>	TBR	A	A	A
Fraass breaking point, min	EN 12593	°C	TBR		A	

Notes:

AS = As Supplied; STA = After EN 12607-1 (RIFOT) \* LTA = After PAV85 \*

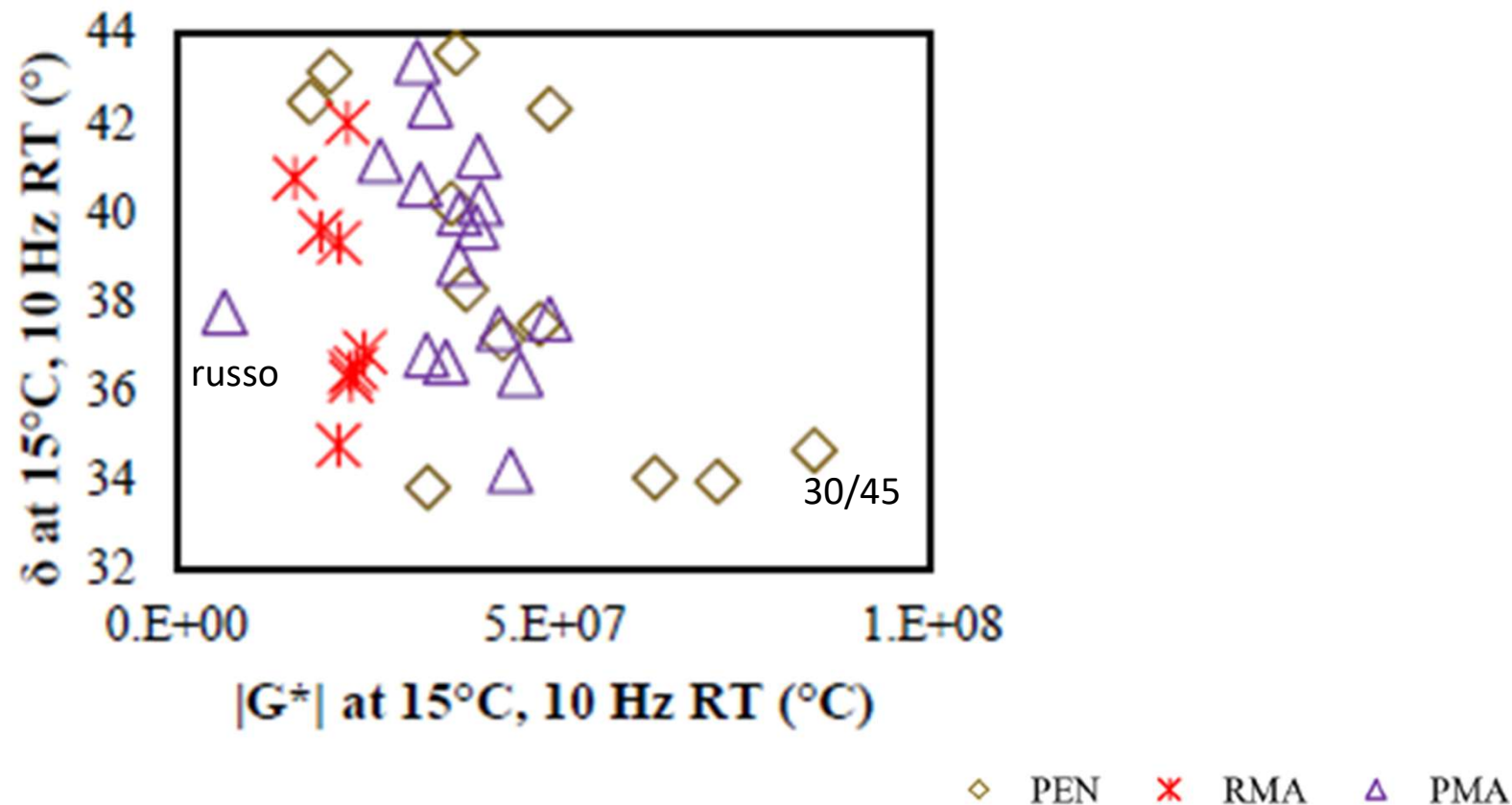
\* An ageing profile determined in accordance with clause 955 is an acceptable alternative to STA and PAV85.

All tests to be carried out on sub-samples of a single bulk sample of binder.

Minimum test frequency : A = Annually.

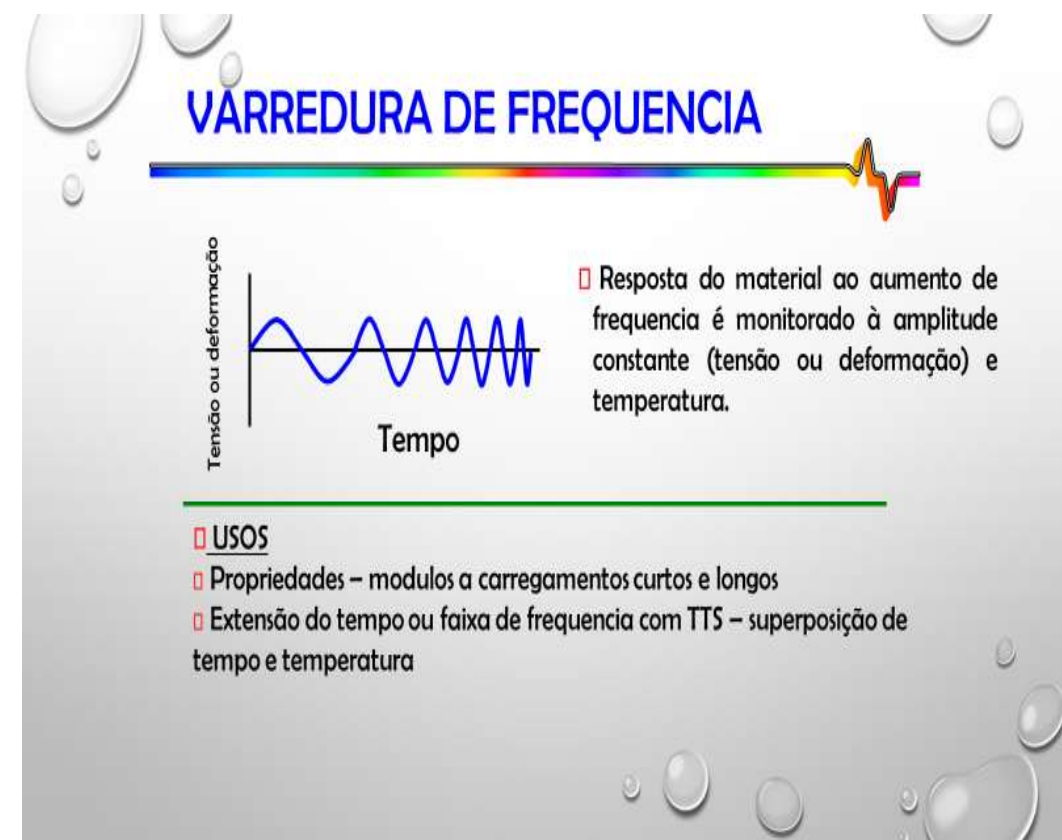
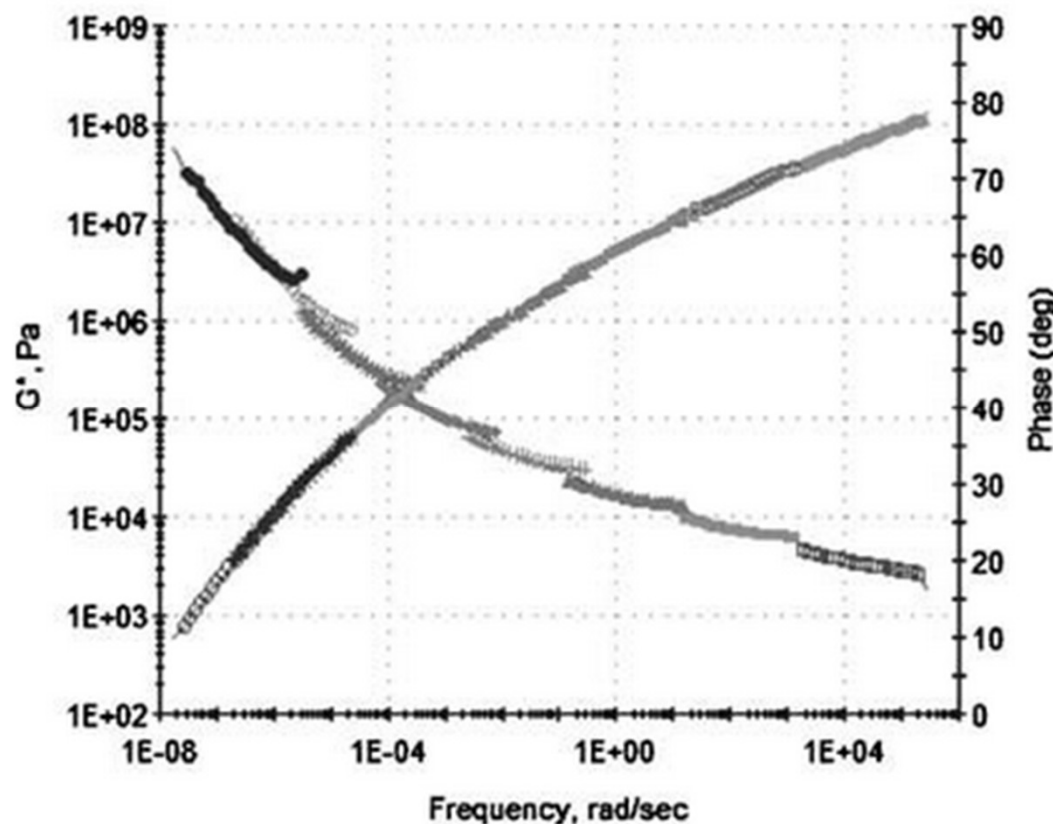
(Indicated frequencies apply only if product is in regular supply.)

## $G^*$ a 15°C

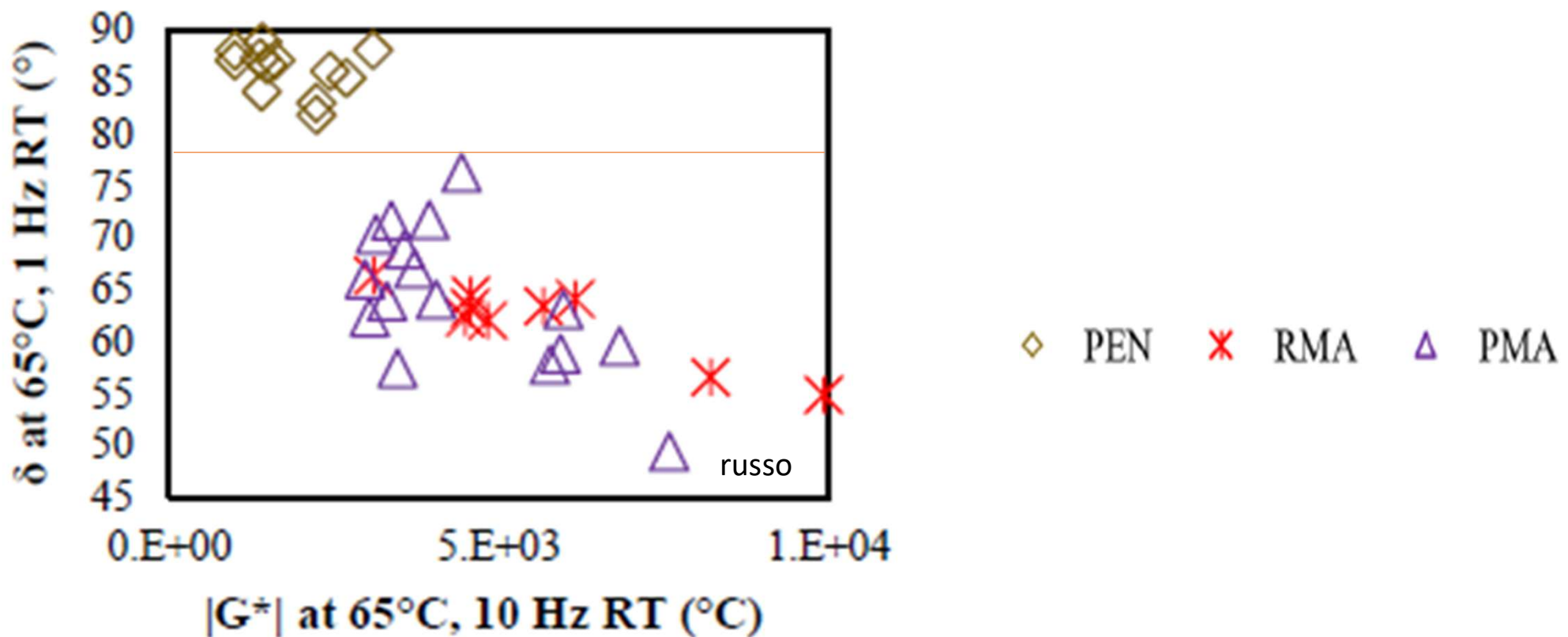


# Curva mestre

## Varredura de frequência



AF a 65°C, 1Hz após RT x G\* a 65°C, 10 Hz após RT



## Conclusões - Ensaios reológicos

---

Índices que distinguem ligantes modificados dos não modificados

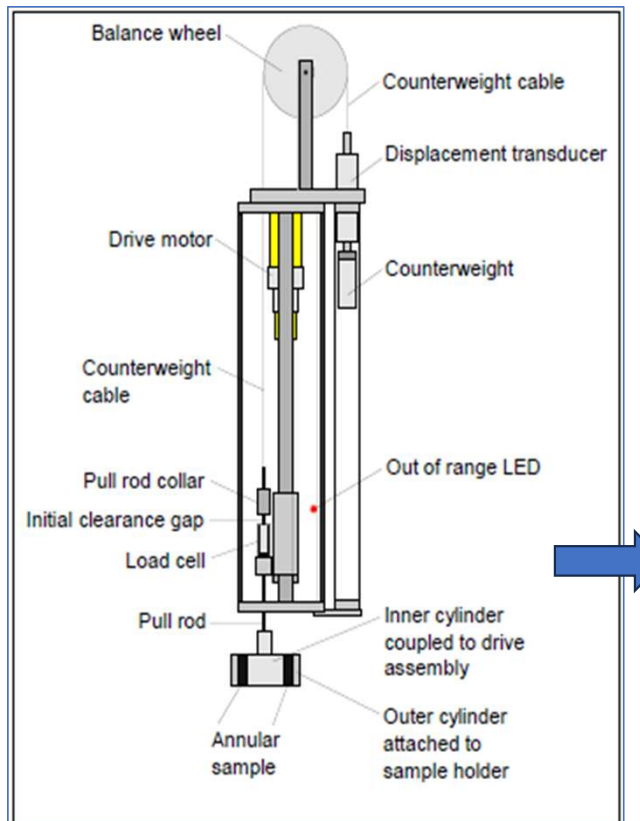
- BSV;
- AF a 65°C, 1 Hz após RT X G\* a 65°C a 10 Hz após RT;
- Parâmetro espanhol AF e Temperatura após RT ( 50 KPa);
- Asfalto russo é sempre visto como outlier;
- G\* a 15°C a 10 Hz;
- R, GRP e delta Tc não parecem ser interessantes de ser explorados

---

## Outros ensaios para misturas quentes

# Especificação australiana – parâmetro de resistência a deformação permanente

## Asfalto modificado 2020



**Table 8.2: Properties of Polymer Modified Binders for Asphalt Applications**

Test method	Class Binder property	A35P	A25E	A20E	A15E	A10E
AS/NZS 2341.4 or AGPT/T111 <sup>(1)</sup>	Viscosity at 165 °C (Pa.s) max. <sup>(1)</sup>	0.6	0.6	0.6	0.9	1.1
AGPT/T122	Torsional recovery at 25 °C, 30 s (%)	6–21	17–30	38–70	55–80	60–86
AGPT/T131	Softening point (°C)	62–74	52–62	65–95	82–105	88–110
AGPT/T125	Stress ratio at 10 °C min.	TBR <sup>(2)</sup>	TBR	TBR	TBR	TBR
AGPT/T121	Consistency 6% at 60 °C (Pa.s) min. <sup>(3)</sup>	1000	400	500	900	1000
AGPT/T121	Stiffness at 25 °C (kPa) max.	120	45	35	30	30
AGPT/T108	Segregation (%) max.	8	8	8	8	8
AGPT/T112	Flash point (°C) min.	250	250	250	250	250
AGPT/T103	Loss on heating (% mass) max.	0.6	0.6	0.6	0.6	0.6

Especificação australiana – parâmetro de resistência a fadiga - taxa de tensão a 10°C  
Asfalto modificado 2020

Razão de tensão= Tensão (10 def.)/Tensão (3 def.)

Figure 9.1: Distressed binder after testing

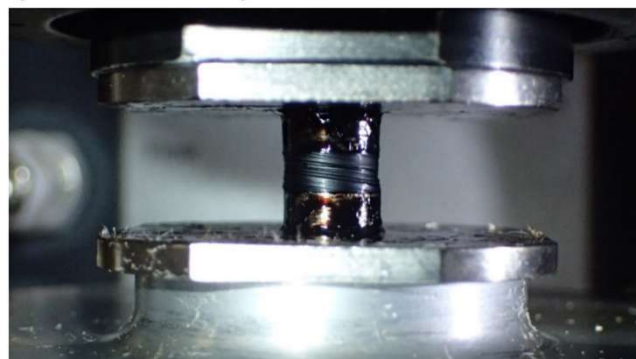
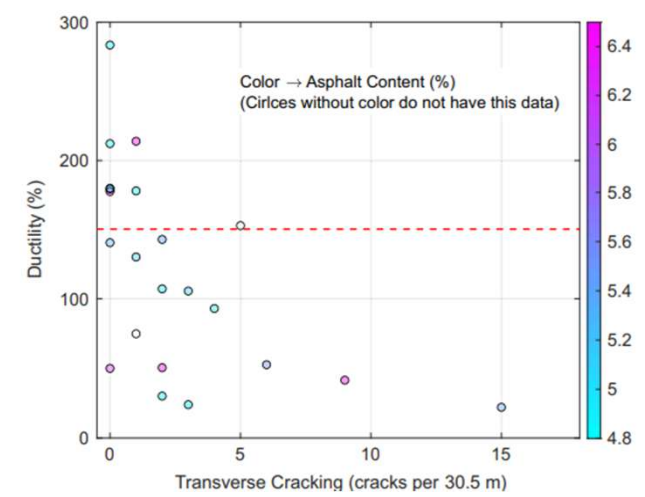
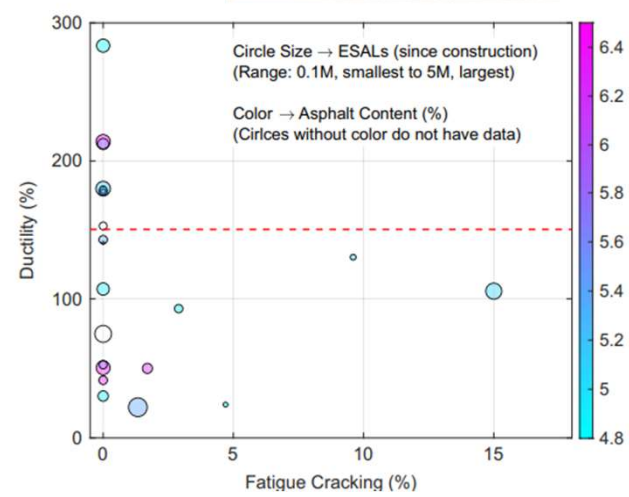
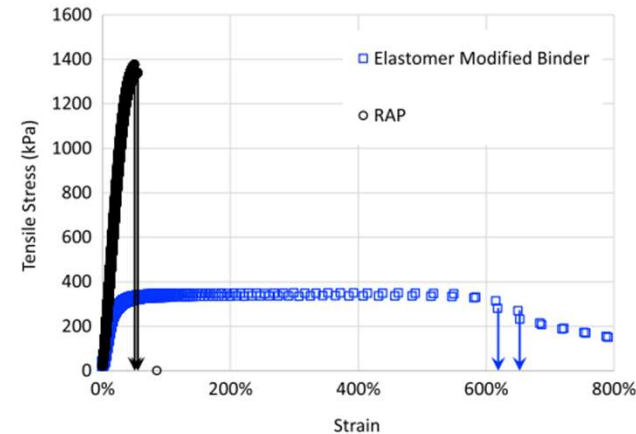
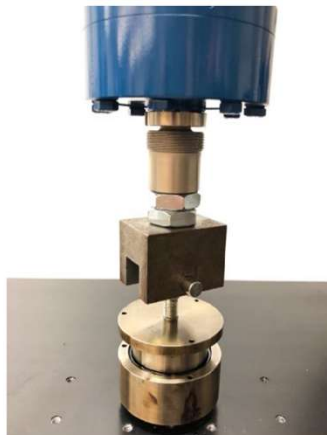


Table 8.2: Properties of Polymer Modified Binders for Asphalt Applications

Test method	Class Binder property					
		A35P	A25E	A20E	A15E	A10E
AS/NZS 2341.4 or AGPT/T111 <sup>(1)</sup>	Viscosity at 165 °C (Pa.s) max. <sup>(1)</sup>	0.6	0.6	0.6	0.9	1.1
AGPT/T122	Torsional recovery at 25 °C, 30 s (%)	6–21	17–30	38–70	55–80	60–86
AGPT/T131	Softening point (°C)	62–74	52–62	65–95	82–105	88–110
AGPT/T125	Stress ratio at 10 °C min.	TBR <sup>(2)</sup>	TBR	TBR	TBR	TBR
AGPT/T121	Consistency 6% at 60 °C (Pa.s) min. <sup>(3)</sup>	1000	400	500	900	1000
AGPT/T121	Stiffness at 25 °C (kPa) max.	120	45	35	30	30
AGPT/T108	Segregation (%) max.	8	8	8	8	8
AGPT/T112	Flash point (°C) min.	250	250	250	250	250
AGPT/T103	Loss on heating (% mass) max.	0.6	0.6	0.6	0.6	0.6

Dutilidade Pocker chip – parâmetro de resistência a fadiga - TEXAS



# DOT Texas - e DSR ao invés de BBR com placa 8mm

LOW TEMPERATURE DYNAMIC SHEAR RHEOMETER TESTING OF ASPHALT BINDER

TxDOT DESIGNATION: TEX-554-C

Test Procedure for

## LOW TEMPERATURE DYNAMIC SHEAR RHEOMETER TESTING OF ASPHALT BINDER



TxDOT Designation: Tex-554-C

Effective Date: October 2024



- Condicionar amostra a PG +10°C for 2100 s;
- Testar amostra em placa 8mm com taxa de deformação de 1% na frequência angular de 10 c/s;
- Reportar a média  $G^*$  e  $\delta$  nos últimos 5 ciclos.

# DENT – AASHTO 425-23 – parâmetro de fadiga

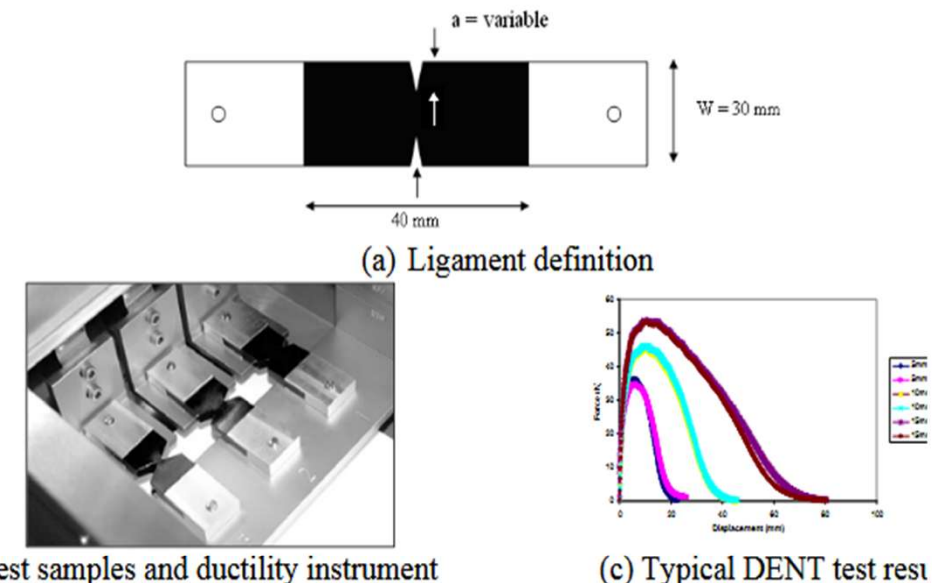


Figure 10. FHWA DENT Test (28).

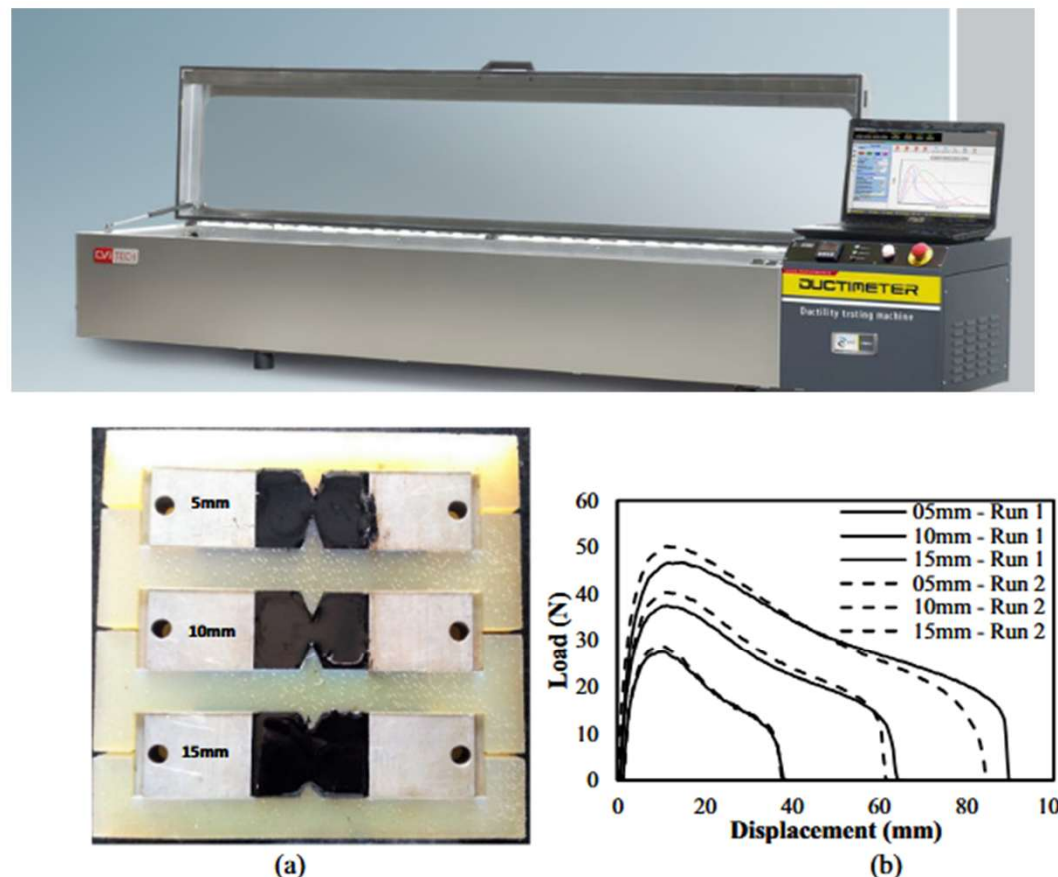
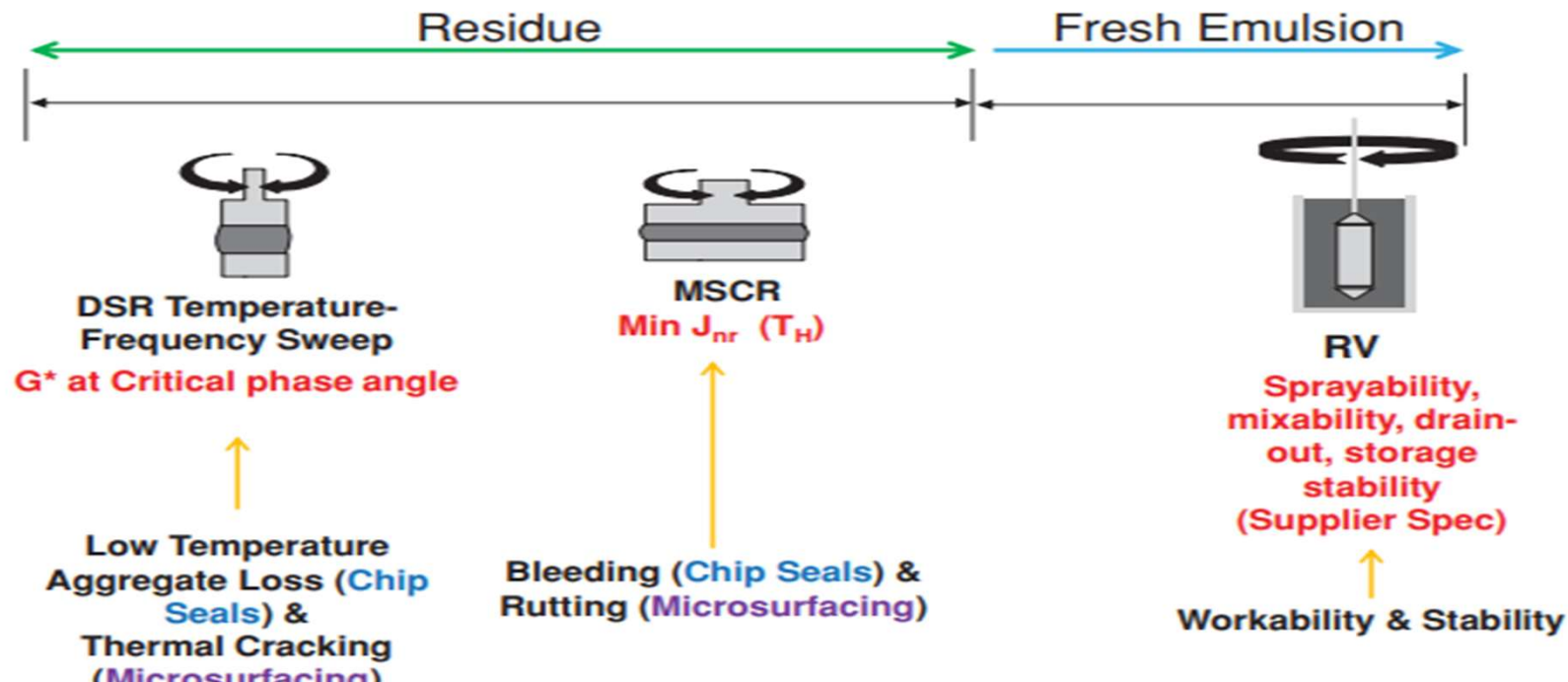


Fig. 2. (a) Silicon mold having 5 mm, 10 mm & 15 mm notch length (b) typical load displacement curve.

---

## Parâmetros de desempenho para mistura a frio

# Emulsões – PG (NCHRP) Inicialmente NCU



**Figure 2.1. Recommended EPG specification tests for emulsions.**

# NCHRP 09-63: A Calibrated and Validated National Performance Related Specification for Emulsified Asphalt Binder

## Projetos de campo: 2019-2020



FIGURE 1. Location of NCHRP 09-63 Field Projects (shaded)



TABLE 12. Field Experiment Projects

PROJECT INFO						
Project #	Route/Street	City/Town	State	Agency	Type	Actual Construction Date
1	Rt. 80	Sherburne	NY	NYS DOT	Chip Seal w/Fog and Sand	9/6/2019
2	RT. 11	Homer	NY	NYS DOT	Chip Seal w/Fog and Sand	7/17/2020
3	Padgett Rd.	Union Mills	NC	Rutherford Co.	Double Chip Seal	7/22/2020
4	Rt. 9B	Rouses Point	NY	NYS DOT	Double Microsurfacing	8/10/2020
5	SR 117	Belle Center	OH	OHDOT	Microsurfacing	8/20/2020
6	CR 2	Colgan	ND	Divide Co.	Microsurfacing	8/27/2020
7	US 85	Fortuna	ND	NDDOT	Chip Seal w/Fog	8/28/2020
8	Norris Peak Rd	Rapid City	SD	Pennington Co.	Chip Seal w/Fog	9/1/2020
9	US 6	Dyer	NV	NVDOT	Chip Seal w/Fog and Sand	9/10/2020
10	SW Gage Blvd	Topeka	KS	Mission Township	Chip Seal	9/17/2020
11	CR 660	Farmville	VA	Cumberland Co.	Double Chip Seal	9/21/2020
12	Beulah Road	Vienna	VA	VDOT	Microsurfacing	9/22/2020
13	Arrants Road	North East	MD	Cecil Co.	Slurry Seal	9/25/2020

Task Force

# Classificação da emulsão - EPG

## ■ Examples of chip seals EPG

Existing Emulsion Name	Classification of emulsified asphalt performance		Workability index of emulsified asphalt		Residue high and low temperature index		Pass & Grade or Fail at Test Temp/Traffic Level				
	Proposed EPG Grade	Fresh Emulsion Tests	Residual Binder Tests								
CRS-2 (NC)	<b>CRS-EPG67-19L</b>						CRS-EPG67-19L				
CRS-2L (F)	CRS	67-19	Low	1.1 Pass	1.0 Pass	180 Pass	350 Pass	6.75 Pass at Low 6.75 Fail at Med 6.75 Fail at High	14 Pass at Low 14 Pass at Med 14 Fail at High	CRS-EPG67-19L	
CRS-2P (A)			Med	0.3 Pass	1.0 Pass	80 Pass	450 Pass				
			High				2.5 Pass at Low 2.5 Pass at Med 2.5 Pass at High	4 Pass at Low 4 Pass at Med 4 Pass at H			

Emulsão catiônica ruptura rápida  
Temperatura pavimento 67-19  
Baixo tráfego

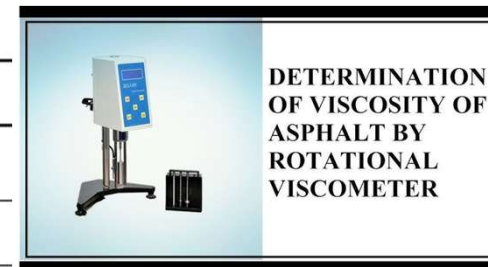
# EUA e África do Sul - requisitos de desempenho preliminares

## África do Sul

Engineering Property	Test Method	Parameter(s) Measured
<b>Tests on Fresh Emulsion Properties (Constructability)</b>		
Storage Stability	Modified ASTM D6930 – Settlement and Sedimentation	<ul style="list-style-type: none"> <li>▪ Rotational Viscosity, <math>\eta_r</math></li> <li>▪ B-24-hour Separation Ratio (<math>R_s</math>)</li> <li>▪ C-24-hour Stability Ratio (<math>R_d</math>)</li> </ul>
Sprayability	Modified AASHTO TP48 - Rotational Viscometer	<ul style="list-style-type: none"> <li>▪ Rotational Viscosity, <math>\eta_r</math></li> <li>▪ @ high shear at (XX 1/sec)</li> </ul>
Drain-Out	Modified AASHTO TP48-Rotational Viscometer	<ul style="list-style-type: none"> <li>▪ Rotational Viscosity, <math>\eta_r</math></li> <li>▪ @ low shear rate (XX 1/sec)</li> </ul>
Resistance to Early Raveling /Curing	AASHTO TP 91-11 Bitumen Bond Strength (BBS)	<ul style="list-style-type: none"> <li>▪ A-Minimum Pull-Out Tensile Strength (POS) @ XX hrs. of Curing Time</li> </ul>
<b>Residue Recovery Method: ASTM D7497 Method B</b>		
Resistance to Bleeding and Flushing	Multiple Stress Creep and Recovery Test (AASHTO TP 70)	<ul style="list-style-type: none"> <li>▪ <math>J_{nr}</math></li> <li>▪ Stress Sensitivity</li> </ul>
Resistance Raveling	Bitumen Bond Strength Test (AASHTO TP-91)	<ul style="list-style-type: none"> <li>▪ Wet and Dry Pull-off Bond Strength</li> <li>▪ Moisture Damage ratio</li> </ul>
	DSR-Linear Amplitude Test	<ul style="list-style-type: none"> <li>▪ Strain at maximum Stress</li> </ul>
Early Fatigue	Linear Amplitude Sweep Test (LAS)	<ul style="list-style-type: none"> <li>▪ Number of Cycles to failure (<math>N_f</math>) at specified % Strain</li> </ul>
Polymer Identifier	Elastic Recovery DSR	<ul style="list-style-type: none"> <li>▪ % recovery</li> </ul>
<b>Tests on PAV Aged (AASHTO R28) Materials</b>		
Late Fatigue	Linear Amplitude Sweep Test (LAS)	<ul style="list-style-type: none"> <li>▪ Cycles to failure (<math>N_f</math>) at specified % Strain</li> <li>▪ Aging Susceptibility</li> </ul>
Resistance to Thermal Cracking	DSR Frequency Sweep to estimate BBR properties.	<ul style="list-style-type: none"> <li>▪ Estimated S(60), m(60)</li> </ul>

## EUA

Property	Test Method	Parameter(s) Measured
Storage Stability <sup>a</sup>	Modified ASTM D6930 – Settlement and Sedimentation	<ul style="list-style-type: none"> <li>A Rotational viscosity, <math>\eta_r</math></li> <li>B 24-hour separation ratio (<math>R_s</math>)</li> <li>C 24-hour stability ratio (<math>R_d</math>)</li> </ul>
Sprayability <sup>b</sup>	Modified AASHTO TP 48 – Rotational Viscometer	Rotational viscosity, $\eta_r$ @ high shear rate
Drainout <sup>b</sup>	Modified AASHTO TP 48 – Rotational Viscometer	Rotational viscosity, $\eta_r$ @ low shear rate
Mixability <sup>c</sup>	Modified AASHTO TP 48 – Rotational Viscometer	Rotational viscosity, $\eta_r$ @ 5 rpm
Curing Time <sup>d</sup>	Modified ASTM D3121 – Rolling Ball Test	Rolling distance, time to 25 cm rolling distance



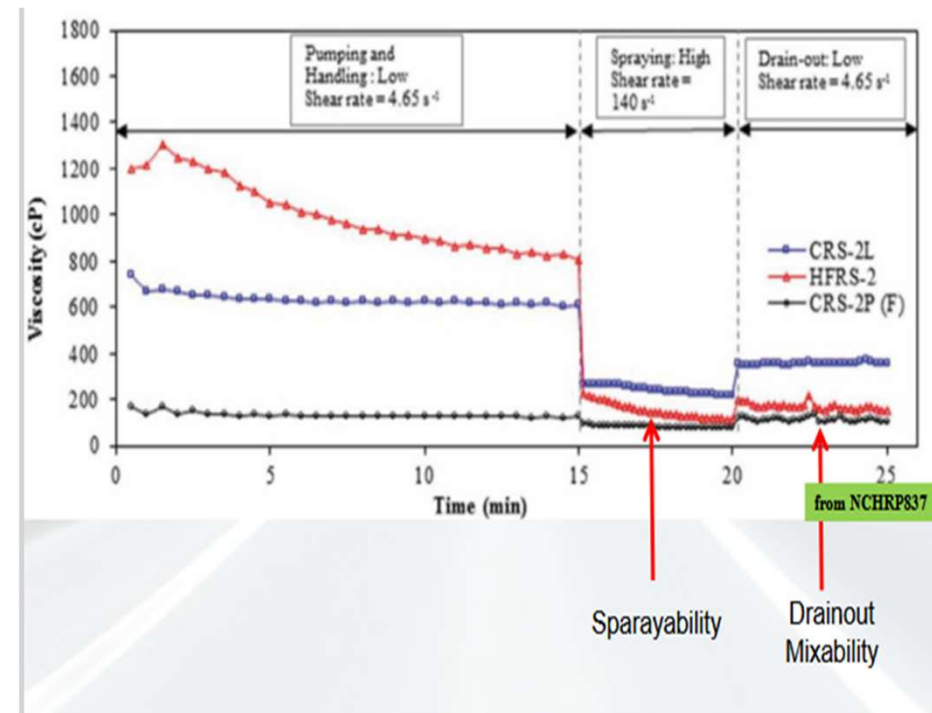
Performance Characteristic	Test Method	Parameter(s) Measured
Rutting at High-temperature EPG	Multiple Stress Creep and Recovery Test	<ul style="list-style-type: none"> <li>▪ Non-recoverable Creep Compliance, <math>J_{nr}</math></li> </ul>
Thermal Cracking at Low-temperature EPG	Dynamic Shear Rheometer Frequency Sweep Test	<ul style="list-style-type: none"> <li>▪ Dynamic Shear Modulus (<math>G^*</math>) at <math>\delta_{critical}</math></li> </ul>



# Trabalhabilidade

## Simulação do processo de aplicação

Testes na emulsão virgem - propriedades de trabalhabilidade		
Propriedade	Método	Parâmetro medido
Pulverizabilidade	AASHTO TP 48 modificado	viscosidade rotacional 150 rpm
Drenagem TS		viscosidade rotacional 5 rpm
Mixabilidade Micro		viscosidade rotacional 5rpm



Etapa 1 – Emulsão no tanque – manuseio e bombeamento - 5 rpm

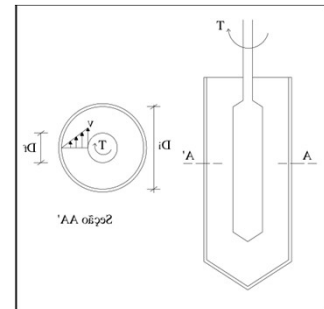
Etapa 2 – Pulverização da emulsão (TS) – 150 rpm

Etapa 3 – Drenagem (TS) e Mixabilidade (Micro)na superfície do pavimento- 5rpm

# Trabalhabilidade

## Testes na emulsão virgem - propriedades de trabalhabilidade

Propriedades	Método	Parâmetro medido
Estabilidade à estocagem	ASTM D 6930/19 modificado Amostra estocada sedimentação	viscosidade rotacional B - 24 horas razão de separação ( $R_s$ ) ( $\eta$ topo / $\eta$ fundo) C - 24 horas razão de estabilidade $\eta$ Antes / $\eta$ Depois condicionamento ( $R_d$ )
Resistência a cura precoce	AASHTO TP 91-11 BBS	A - mínimo resistência à tração POS
	Resistencia a adesão do ligante	XX h de tempo de cura



# NCHRP 09-63 Draft EAPG Specification (V1): Chip Seals



Emulsion Performance Grade	EPG 55					EPG 61					EPG 67			
	-19	-25	-31	-37	-43	-13	-19	-25	-31	-37	-13	-19	-25	-31
Surface design high temperature <sup>1</sup> , °C	< 55					< 61					< 67			
Surface design low temperature <sup>1</sup> , °C	>-19	>-25	>-31	>-37	>-43	>-13	>-19	>-25	>-31	>-37	>-13	>-19	>-25	>-31
Tests on Recovered Residue (AASHTO R78, Procedure B)														
High Temperature Parameter														
G*/sin δ ≥ 0.65 kPa, 10 rad/s @ Test Temperature, °C <sup>2</sup>	55					61					67			
Low Temperature Parameter														
G* at δ <sub>c</sub> , MPa <sup>3</sup>														
Low Traffic <sup>4</sup>														
G* ≤ 30 MPa @ δ <sub>c</sub> , degrees	48	45	42	39	36	51	48	45	42	39	51	48	45	
High Traffic <sup>5</sup>														
G* ≤ 15 MPa @ δ <sub>c</sub> , degrees														
OPTIONAL Polymer Presence Indicator														
Max. δ at T <sub>high</sub> , degrees <sup>6</sup>	n/a	n/a	n/a	84	80	n/a	n/a	n/a	84	80	n/a	n/a	84	80

NOTES:

- Determined at the pavement surface to represent the high and low design temperature for the EPG. Temperatures may be determined from experience or may be estimated using equations LTPPBind Online, modified to represent the expected surface temperature. High surface temperatures are generally 3°C to 4°C greater than those determined for PG asphalt binders used for paving.
- AASHTO T315 is used to determine the G\*/sin δ value of the EPG asphalt binder.
- G\* at δ<sub>c</sub> is determined using temperature-frequency sweep testing at 5 and 15°C following the research test procedure described in NCHRP Report 637.
- Low traffic is defined as having an AADT of 1,000 vehicles or less.
- High traffic is defined as having an AADT greater than 1,000 but less than 20,000 vehicles.
- Phase angle (δ) is determined at the continuous high temperature grade – T<sub>high</sub> – where G\*/sin δ = 0.65 kPa. Two temperatures are needed – one where G\*/sin δ < 0.65 kPa and one where G\*/sin δ > 0.65 kPa – so that the phase angle can be interpolated at the temperature where G\*/sin δ = 0.65 kPa.

# Obtenção do resíduo da emulsão

J. Mater. Civ. Eng., 2024, 36(10): 04024315

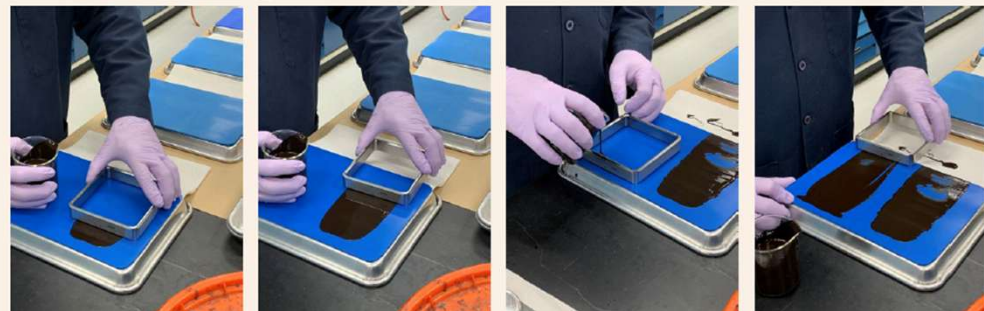
al use only; all rights reserved.



ASTM D7944-15 Standard Practice for Recovery of Emulsified Asphalt Residue Using a Vacuum Oven

Estufa a 70°C e vácuo de 90mBar por 2 horas

## AASHTO R 78 Procedure B and ASTM D7944



24 horas a temperatura ambiente seguido por 24 horas em estufa de ar forçada a 60°C

# Resistencia a deformação permanente

	EPG 55				EPG 61				EPG 67					
Grau de desempenho da emulsão	-19	-25	-31	-37	-43	-13	-19	-25	-31	-43	-13	-19	-25	-31
Temperatura baixa do pavimento, °C		55				61			67					
Temperatura alta do pavimento, °C	-19	-25	-31	-37	-43	-19	-25	-31	-37	-43	-13	-19	-25	-31
Testes no resíduo da emulsão														
Ensaio														
$G^*/\sin\delta > 0,65 \text{ kPa}$ , 10 rad/s na temperatura teste		55			61			67						



# Resistencia a trincamento

Grau de desempenho da emulsão	EPG 55				EPG 61				EPG 67					
	-19	-25	-31	-37	-43	-13	-19	-25	-31	-43	-13	-19	-25	-31
Temperatura baixa do pavimento, °C	55				61				67					
Temperatura alta do pavimento, °C	-19	-25	-31	-37	-43	-19	-25	-31	-37	-43	-13	-19	-25	-31
Testes no resíduo da emulsão														
G* a $\delta c$ , MPa	48													
Baixo tráfego	45	42	39	36	51	48	45	42	39	51	48	45		
G < 30 Mpa a $\delta c$ , °												42		
Alto tráfego														
G < 15 Mpa a $\delta c$ , °														



# Especificação australiana – parâmetro de resistência a deformação permanente

## Emulsão modificada 2020

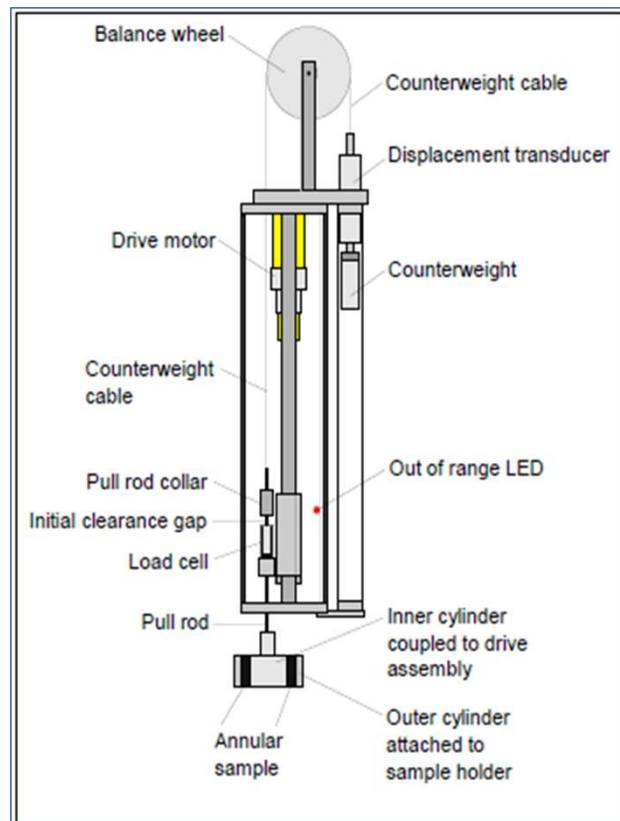


TABLE 511.4 PROPERTIES OF PMB FOR SPRAYED SEALING

Binder Property	Test Method	Binder Class				
		S10E	S20E	S25E	S35E	S45R (Note 2)
Stress ratio at 10 °C Minimum	AG:PT/T125	Report	Report	Report	Report	Report
Consistency 6% at 60°C (Pa.s) Minimum	AG:PT/T121 (Note 1)	300	500	900	250	800
Stiffness at 15°C (kPa) Maximum	AG:PT/T121	140	N/A	N/A	180	Report
Stiffness at 25°C (kPa) Maximum	AG:PT/T121	N/A	35	30	N/A	N/A
Compressive Limit at 70°C, 2kg mm (minimum)	AG:PT/T132	N/A	N/A	N/A	N/A	0.2
Viscosity at 165°C (Pa.s) Maximum (Note 3)	AG:PT/T111 or AS/NZS 2341.4	0.55	0.6	0.9	0.55	4.5
Flash Point (°C) Minimum	AG:PT/T112	250	250	250	250	250
Loss on Heating (% mass) Maximum	AG:PT/T103	0.6	0.6	0.6	0.6	0.6

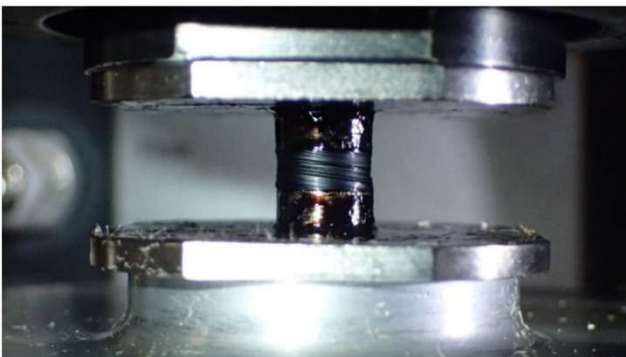
Especificação australiana – parâmetro de resistência a fadiga - taxa de tensão a 10°C  
Emulsão modificada 2020

## Razão de tensão a 10°C

TABLE 511.4 PROPERTIES OF PMB FOR SPRAYED SEALING

Binder Property	Test Method	Binder Class				
		S10E	S20E	S25E	S35E	S45R (Note 2)
Stress ratio at 10 °C Minimum	AG:PT/T125	Report	Report	Report	Report	Report
Consistency 6% at 60°C (Pa.s) Minimum	AG:PT/T121 (Note 1)	300	500	900	250	800
Stiffness at 15°C (kPa) Maximum	AG:PT/T121	140	N/A	N/A	180	Report
Stiffness at 25°C (kPa) Maximum	AG:PT/T121	N/A	35	30	N/A	N/A
Compressive Limit at 70°C, 2kg mm (minimum)	AG:PT/T132	N/A	N/A	N/A	N/A	0.2
Viscosity at 165°C (Pa.s) Maximum (Note 3)	AG:PT/T111 or AS/NZS 2341.4	0.55	0.6	0.9	0.55	4.5
Flash Point (°C) Minimum	AG:PT/T112	250	250	250	250	250
Loss on Heating (% mass) Maximum	AG:PT/T103	0.6	0.6	0.6	0.6	0.6

Figure 9.1: Distressed binder after testing



## Conclusões – Ensaios reológicos EPG

---

- Ensaios de trabalhabilidade devem ajudar na aplicação;
- Ensaios reológicos no resíduo da emulsão podem vir a garantir a seleção do ligante de acordo com clima e tráfego;
- Mais testes em campo nos estados americanos irão melhorar ainda mais a escolha dos ensaios e dos limites;
- A concepção da especificação australiana está relacionada apenas ao AMP usado na emulsão, ainda leva em conta alguns ensaios empíricos;



# Programa de Engenharia Civil

COPPE - Universidade Federal do Rio de Janeiro

Obrigada pela atenção !

[lenimathias@coc.ufrj.br](mailto:lenimathias@coc.ufrj.br)



## Referências

- NCHRP RESEARCH REPORT 837 -Performance-Related Specifications for Emulsified Asphaltic Binders Used in Preservation Surface Treatments (2017)
- Anderson M. -Testing and Specification for Performance-Graded Emulsified Asphalt -AASHTO TSP2 Emulsion Task Force (ETF) Meeting 2019
- Martin, A. et al -Evolution of Performance-Graded Specifications for Chip Seal Binders in the United States- *13th Conference on Asphalt Pavements for southern Africa 2019*
- NCHRP 09-63: A Calibrated and Validated National Performance Related Specification for Emulsified Asphalt Binder
- Gierhart ,D. Innovative Trends in National Asphalt Research SPTC Summer Transportation Symposium 2024
- Anderson, M. Progress Toward the Development of a National Performance-Related Specification for Emulsified Asphalt Binder 2024 AEMA- ARRA –ISSA Annual Meeting
- Schuler et al Guide Specifications for the Construction of Chip Seals, Microsurfacing, and Fog Seals NCHRP 14-37 (2018)
- Anderson, M National Performance-Related Specification for Emulsified Asphalt Binder AASHTO TSP·2 ETF Meeting 2023
- Satyavati et al Evaluation of Using Vacuum Oven for Residue Recovery of Asphalt Emulsion and Cutback Asphalt for Routine Screening J. Mater. Civ. Eng., 2024, 36(10): 04024315
- Mohanraj et al -Field Validation on the Use of Poker-Chip Test to Predict Cracking in Flexible Pavements - J. Transp. Eng., Part B: Pavements, 2023, 149(2): 04023008
- Austroads AUSTROADS TECHNICAL SPECIFICATION ATS3110 Supply of Polymer Modified Binders Edition 1.0 January 2020
- Main Roads Western Australia MATERIALS FOR BITUMINOUS TREATMENTS SPECIFICATION 511 10/4287-002 Issued 06/02/2025
- TxDOT Designation: Tex-554-C Low temperature DYNAMIC SHEAR RHEOMETER testing of asphalt Binder
- Zhou et al - LABORATORY EVALUATION OF ASPHALT BINDER RUTTING, FRACTURE, AND ADHESION TESTS FHWA/TX-14/0-6674-1 april, 2014
- Choi et al - Development of Australian Performance-based Specifications for Bituminous Binders Proceedings of the 2019 World Transport Convention Beijing, China, June 13-16, 2019
- AASHTO T 405 -23 Determination of asphalt binder ductility failure using double edge notched tension DENT
- ASPHALT INSTITUTE (2019). Use of the Delta Tc parameter to characterize asphalt binder behavior. IS240. Asphalt Institute Technical Advisory Committee.
- CHRISTENSEN, D.W.; TRAM, N. (2022). Relationships between the fatigue properties of asphalt binders and the fatigue performance of asphalt mixtures. NCHRP PROJECT 09-59.
- ANDERSON, R.M. et al. (2011). Evaluation of the relationship between asphalt binder properties and non-load related cracking. Association of Asphalt Paving Technologists, v.80, p.615-663.
- ALISOV, A. et al. (2018). A novel method to characterize asphalt binder at high temperature. Road Materials and Pavement Design, v.21, n.1, p.143-155.
- GONZÁLEZ, M. et al. (2018). Reología de los ligantes españoles en el contexto del anexo informativo de la nueva EN12591. XIII Jornada Nacional - ASEFMA 2018.